

Про можливість детектування глобального сигналу в лінії надтонкої структури гідрогену з епохи Темних віків

О. Коноваленко¹, В. Захаренко¹, Б. Новосядлий^{2,3}, Л. Гурвіц⁴, С. Степкін¹,
Є. Васильківський¹, П. Токарський¹, О. Ульянов¹, О. Станиславський¹, І. Бубнов¹
¹Радіоастрономічний інститут НАН України, вул. Мистецтв, 4, Харків 61002, Україна
²Астрономічна обсерваторія Львівського національного університету імені Івана Франка,
вул. Кирила і Мефодія, 8, м. Львів, 79005, Україна
³Коледж фізики та Міжнародний центр наук майбутнього Цзілінського університету,
вул. Кванцзінь, 2699, м. Чаньчунь, 130012, КНР and
⁴Об'єднаний інститут VLBI ERIC і Делфтський технологічний університет,
вул. Овде Хогевенседайк 4, 7991 Двінгело, Нідерланди
(Dated: 18 січня 2024 р.)

Ми аналізуємо можливості детектування за допомогою українських радіотелескопів УТР-2 і ГУРТ НАН України сигналу в лінії 21 см нейтрального гідрогену, який сформований у ранньому Всесвіті в епоху Темних віків. Ця лінія внаслідок космологічного розширення зміщена в декаметровий діапазон довжин хвиль ($\lambda_{obs} \approx 18$ м, $\nu_{obs} \approx 16$ МГц) і лежить в смузі робочих частот цих телескопів. Яскравісна температура передбачуваного усередненого по небу глобального сигналу складає від ~ -0.08 до ~ 0.02 К в залежності від космологічної моделі. Такий слабкий сигнал є великим викликом навіть для найбільшого у світі радіотелескопа декаметрового діапазону довжин хвиль УТР-2, оскільки рівень сигналу синхротронного випромінювання галактики на цих частотах складає 20000-40000 К. У статті висвітлено особливості спектроскопії на декаметрових хвилях, завадові фактори природного та апаратного походження і шляхи їх усунення з метою надійного детектування сигналу в лінії 21 см, який може стати важливим джерелом інформації як про середовище, в якому народжувались перші зорі і галактики, так і про природу частинок темної матерії та величини первісних магнітних полів. Зроблено висновок, що детектування такого сигналу за допомогою найчутливіших радіотелескопів декаметрового діапазону довжин хвиль є цілком можливим (при частотному накопиченні 25 МГц час детектування складатиме 50 діб) і може бути реалізований у найближчі мирні роки в Україні.

PACS numbers: 95.85.Fm, 95.55.Jz, 95.55.Qf, 95.75.Fg, 98.80.-k

Keywords: космологічні Темні віки, лінія 21 см гідрогену, радіоспектроскопія, радіотелескоп УТР-2

ВСТУП

Космологічні дослідження є одними із найбільш складних напрямів сучасної астрономії. Це відноситься як до теоретичних оцінок, так і до експериментального пошуку відповідних ефектів. Причини пов'язані, зокрема, із необхідністю відходів від класичних методів теоретичної фізики та астрофізики, невизначеністю початкових умов, великою відстанню до досліджуваних об'єктів та слабкістю ефектів у будь-якому діапазоні космічного випромінювання всхвильової астрономії.

У представлений роботі пропонується об'єднання зусиль теоретиків та експериментаторів в оцінці можливостей існування та детектування нового космологічного явища - ліній поглинання нейтрального гідрогену (довжина хвилі 21 см), що за рахунок червоного зміщення переходить в діапазон декаметрових хвиль.

В основі досліджень лежать досвід львівської школи теоретичної астрофізики та космології, а також робок у галузі декаметрової радіоастрономії, що розвивається у Харкові на протязі більше ніж півстоліття. Нажаль, всесвітньовідома Радіоастрономічна обсерваторія імені С.Я. Брауде зруйнована внаслідок агресії російських окупантів. Завдяки героїчним діям

Збройних сил України обсерваторія звільнена у вересні 2022 року. Зараз відбувається поступове відновлення інфраструктури і наукових об'єктів Обсерваторії.

I. ЛІНІЯ 21 СМ З ЕПОХИ ТЕМНИХ ВІКІВ

Теплове реліктове випромінювання, експериментально виявлене Арно Пензіасом і Робертом Вільсоном у 1965 році [1], є ключовим джерелом інформації про наш Всесвіт та формування його великомасштабної структури. Вивчення просторових флюктуацій його температури та поляризації в космічних експериментах COBE¹, WMAP², Planck³ започаткували епоху точнісної космології, коли параметри космологічної моделі визначені з точністю до відсотка [2, 3]. Разом з тим залишаються фундаментальні питання

¹ Cosmic Background Explorer (1989-1993), <https://lambda.gsfc.nasa.gov/product/cobe/>.

² Wilkinson Microwave Anisotropy Probe (2001-2010), <https://map.gsfc.nasa.gov/>.

³ Space observatory Planck (2009-2018), <https://sci.esa.int/web/planck/>

щодо природи доміантних за середньою густиною компонент Всесвіту – темної енергії та темної матерії, причини баріонної асиметрії, моделі інфляції, формування перших зір і галактик. Останнє загострилося у зв'язку з відкриттям Космічним телескопом імені Джеймса Вебба масивних галактик з інтенсивним зореутворенням на червоних зміщеннях ~ 13 [4, 5]. З іншої сторони, уточнення космологічної шкали відстаней виявило розбіжність між значеннями сталої Габбла за даними реліктового випромінювання і надновими типу Ia на рівні $> 4\sigma$ [6, 7]. Це вказує на потребу пошуку нових космологічних тестів, зокрема, аналізу можливостей детектування лінії надтонкої структури 21 см нейтрального водню з епохи Темних віків та Космічного світанку, що передували формуванню спостережуваних тепер зір і галактик. Ця лінія є важливим каналом інформації про стан баріонної матерії (температуру, концентрацію, іонізацію, просторові неоднорідності тощо) в епоху формування перших зір і галактик (див., напр., огляди [8, 9]). В останні десятиліття проводяться експерименти з реєстрації глобального (усередненого по всьому небу) сигналу у цій лінії, зміщеній космологічним розширенням Всесвіту в метровий-декаметровий діапазон довжини хвиль. У 2018 році було оголошено про першу реєстрацію цього сигналу на частоті 78 МГц в експерименті EDGES (Experiment to Detect the Global Epoch of Reionization Signature) [10]. Однак, недавно опубліковані дані аналогічного експерименту SARAS 3 (Shaped Antenna measurement of the background Radio Spectrum 3) [11] не підтвердив цього відкриття.

Уже продовж кількох років науковці Астрономічної обсерваторії Львівського національного університету імені Івана Франка та Радіоастрономічного інституту НАН України разом з колегами з інших установ проводять теоретичні оцінки інтенсивності радіовипромінювання з епохи Темних віків та Космічного світанку в лініях перших молекул [12–14] та атомів водню [15, 16]. В роботі [15] отримано оцінку інтенсивності свічення протогалактик (гало) в лініях 21 см, які формуються на червоних зміщеннях $z \sim 30 - 10$. У роботі [16] вивчено залежність глобального сигналу в лінії 21 см в епоху Темних віків, Космічного світанку та реіонізації від параметрів космологічних моделей та першого світла. У ній показано, що реєстрація спектральних особливостей лінії на різних частотах може бути добрим тестом на параметри космологічних моделей, природу частинок темної матерії та напруженість первинних магнітних полів.

У супровідній статті [21] ми показали, що у стандартній Λ CDM моделі з постпланківськими параметрами в епоху Темних віків на червоному зміщенні $z = 87$ формується лінія поглинання $\lambda_{HI} = 21$ см в спектрі реліктового випромінювання, яка для земного спостерігача зміщена в декаметровий діапазон довжин хвиль: $\lambda_{obs} = \lambda_{HI}(1+z) \approx 18$ м. Значення диференційної яскравісної температури в центрі лінії поглинання $\delta T_{br} \approx -35$ мК, частота лінії в максимумі

поглинання 16 МГц, ефективна ширина лінії ≈ 25 МГц. Глибина лінії помірно чутлива до Ω_b і H_0 , слабо чутлива до Ω_{dm} і нечутлива до інших параметрів стандартної Λ CDM моделі. Але лінія дуже чутлива до додаткових механізмів нагрівання або охолодження баріонної матерії під час Темних віків, тому вона може бути ефективним тестом нестандартних космологічних моделей. У моделях з темною матерією, що розпадається або самоанігілює, а також з первісним глобальним стохастичними магнітними полями, температура баріонної матерії в цей період тим вища, чим більша густина цих компонент темної матерії і напруженості магнітного поля. Лінія поглинання мілкішає, щезає і переходить в емісію при значеннях параметрів компонент, нижчих за верхні межі на них, які впливають із наявних даних спостережень.

Найбільшим і найчутливішим радіотелескопом у цьому діапазоні частот є Український Т-подібний радіотелескоп (УТР-2) та ГУРТ, створення якого перебуває на завершальній стадії. У цій роботі ми аналізуємо можливості детектування за їх допомогою глобального сигналу в лінії надтонкої структури основного стану водню з епохи Темних віків, зміщеної в декаметровий діапазон довжин хвиль.

Як відмічалось вище, експерименти з пошуку подібних ліній вже неодноразово проводились на частотах 50–120 МГц, заявлено про успішне детектування на частоті 78 МГц в експерименті EDGES, але спростовано в експерименті SARAS 3. В останні роки активно розробляються засоби і методи такого пошуку в діапазоні 20–200 МГц з урахуванням вкрай низької інтенсивності очікуваних сигналів і великої кількості заводових явищ, що притаманні радіоастрономії низьких частот [17–20]. Серед головних наукових завдань багатьох низькочастотних радіотелескопів нового покоління також є пошук відповідних космологічних спектральних ефектів і на нижчих частотах.

Все більшої популярності набуває використання методів розпізнавання образів (pattern recognition) або в іншій термінології “машинного навчання” та “штучного інтелекту”. Разом з тим недостатньо вивчені і майже не описані радіоспектроскопічні та заводові особливості радіоастрономії декаметрових хвиль на частотах < 30 МГц, де знаходиться космологічна лінія з частотою ~ 16 МГц, що пропонується для пошуку в даній роботі [21]. З іншого боку 50-річний досвід створення засобів і методів спостережень, також використання вказаних вище українських радіотелескопів дозволяють по новому оцінити можливості детектування цього цікавого важливого космологічного ефекту та запропонувати адекватну спостережну методологію.

II. РАДІОАСТРОНОМІЯ НА ДЕКАМЕТРОВИХ ХВИЛЯХ В УКРАЇНІ

Як відомо, Україна є світовим лідером у галузі декаметрової радіоастрономії ($\lambda = 10 - 100$ м, $\nu = 3 - 30$ МГц). Цей пріоритет є загальноновизнаним, зберігається на протязі близько 60 років і базується на створенні та використанні найбільшого в світі радіотелескопа УТР-2 (має рекордно велику ефективну площу 150 000 кв. м) і побудові на його основі унікальної системи УРАН [22], [23]. Засновником цього наукового напрямку, який зараз набуває все більшої актуальності, був видатний український вчений С.Я. Брауде (1911-2003). Не можна з вдячністю не згадати унікальної людини – президента НАН України Б.Є. Патона (1918-2020), який до останніх днів свого яскравого життя всебічно підтримував розвиток низькочастотної радіоастрономії в Україні.

Впродовж останніх десятиліть відбувалась постійна модернізація УТР-2 та УРАН, включаючи антенні системи, аналогову і цифрову апаратуру, методи спостережень. При цьому використовувались найсучасніші інформаційні та телекомунікаційні технології, що призвело до підвищення ефективності та інформативності вітчизняної радіоастрономії у тисячі разів [24], [25]. Більше того, поруч з УТР-2 будується радіотелескоп нового покоління ГУРТ, який має значно ширшу смугу частот 8 – 80 МГц (це вже декаметровий-метровий діапазон) та багато інших переваг [24], [26].

Зараз в усьому світі має місце бурхливий прогрес низькочастотної радіоастрономії. На усіх континентах будуються нові радіотелескопи декаметрових - метрових хвиль LOFAR, NenuFAR, LWA, MWA, SKA-low. Однак за своїми головними параметрами (смуга частот, ефективна площа, чутливість, роздільна здатність, просторово-частотна характеристика, завадостійкість, динамічний діапазон аналогових і цифрових систем) українські інструменти залишаються неперевершеними і максимально затребуваними світовою спільнотою. Вони дали можливість отримати велику кількість пріоритетних астрофізичних та апаратно-методичних результатів при виконанні вітчизняних та міжнародних наукових проєктів [27]. На рис. 1 – 4 показані українські радіотелескопи декаметрових хвиль та їх розміщення в Україні. Головні параметри телескопів наведені у таблиці на рис. 5 [23].

Для правильного формування вимог до експериментальної бази пошуку зміщеної лінії 21 см гідрогену, включаючи інформацію про її параметри, що наведені у попередньому розділі, необхідно ретельно врахувати особливості радіоастрономії декаметрових хвиль як з точки зору астрофізики, так і апаратно-методичних аспектів. Їхснує чимало, але далі ми коротко торкнемось лише тих, які безпосередньо впливатимуть на характер експериментів, в першу чергу, особливостей радіотелескопів декаметрових хвиль.

Одним із головних параметрів кожного радіотелескопа є його чутливість. Вона визначається класич-

ним співвідношенням [28]

$$\Delta S_{min} = \frac{2k_B T_{noise}}{A_{ef} \sqrt{\Delta f \Delta t}} \text{ Ян}, \quad (1)$$

де ΔS_{min} – мінімальна густина потоку електромагнітного випромінювання, що задетектована від радіоджерела, k_B – стала Больцмана, T_{noise} – шумова температура системи, A_{ef} – ефективна площа радіотелескопа, Δf – частотна смуга реєстрації (роздільна здатність за частотою), Δt – час інтегрування або накопичення (роздільна здатність за часом).

Принциповою відмінністю низьких частот є те, що шумова температура системи T_{noise} не є шумовою температурою приймача T_N , як на високих частотах (складає близько десятків К). На декаметрових вона визначається яскравістю шумового галактичного фону $T_{noise} \approx T_B(\nu)$, яка досягає десятків та сотень тисяч К. Але, незважаючи на це величезне значення, радіотелескоп УТР-2 має рекордну чутливість завдяки своїй гігантській ефективній площі - $\Delta S_{min} \sim 1 \text{ Ян} - 1 \text{ мЯн}$ (в залежності від смуги і часу інтегрування, які в свою чергу визначаються параметрами досліджуваних космічних сигналів).

Наведена вище формула та її низькочастотні особливості вимагають уточнення. Наближення $T_{noise} \approx T_B$ справедливе лише тоді, коли антенна температура (потужність радіосигналу від галактичного фону) на виході антени або антенного елемента набагато більша, ніж шумова температура приймача (антенного підсилювача), що підключений до антени: $T_a \gg T_N$. Але у кожній антені існують втрати η_A (частотно-залежне ослаблення сигналу), в тому числі, при використанні сучасних широкосмугових активних антенних елементів [29]. Таким чином $T_a = T_B \eta_A$, а скоригована формула для чутливості виглядає так:

$$\Delta S_{min} = \frac{2k_B T_{noise}}{A_{ef} \sqrt{\Delta f \Delta t}} \left(1 + \frac{T_N}{T_a} \right) \text{ Ян}, \quad (2)$$

Коефіцієнт зменшення чутливості $m = T_a / (T_a + T_N)$ може бути помітно меншим за 1. Наприклад, коли антенна температура фону дорівнює шумовій температурі приймача (іноді конструктори радіотелескопів це допускають), чутливість зменшується удвічі, що еквівалентне зменшенню ефективної площі (її максимізація - головна експериментальна мета радіоастрономів) у два рази. Це вимушує ввести новий параметр якості низькочастотного радіотелескопа - системна еквівалентна ефективна площа (System Equivalent Effective Area)

$$SEEA = A_{ef} T_a / (T_a + T_N) = m \cdot A_{ef} \text{ м}^2.$$

Більш коректною оцінкою якості у порівнянні із традиційним параметром якості на високих частотах є системна еквівалентна густина потоку (System Equivalent Flux Density):

$$SEFD = 2k_B T_{noise} / A_{ef} \text{ Ян}.$$



Рис. 1. Антени Північ-Південь (зліва) та Схід-Захід (справа) радіотелескопу УТР-2 (фото 2020 року).
Fig. 1. The North-South (left) and East-West (right) antennas of the UTR-2 radio telescope (2020 photo)



Рис. 2. Широкопasmовий радіотелескоп нового покоління ГУРТ.
Fig. 2. Wideband radio telescope of the new generation GURT.



Рис. 3. Радіотелескопи УРАН-1 (РІ НАНУ), УРАН-2 (ІГО ІГФ НАНУ), УРАН-3 (ФМІ НАНУ), УРАН-4 (РІ НАНУ).
Fig. 3. Radio telescopes URAN-1 (RI NASU), URAN-2 (PGO IGF NASU), URAN-3 (FMI NASU), URAN-4 (RI NASU).

На низьких частотах T_{noise} визначається, в першу чергу T_B і ніяким чином не може бути зменшена з метою підвищення якості радіотелескопа у порівнянні з високими частотами (міліметровий - сантиметровий діапазони), коли T_{noise} може бути зменшена шляхом використання сучасних напівпровідників та криогенної техніки.

Формули (1) та (2) використовуються при спостереженнях точкових радіоджерел з кутовими розмірами меншими за ширину діаграми спрямованості радіотелескопа (для УТР-2 кутова роздільна здатність ~ 30 кут. хв). У випадках протяжних та/або ізотропних у просторі радіоджерел (саме таким є глобальний сигнал у лінії 21 см гідрогену з Темних віків) доцільно використовувати співвідношення для мінімально задетектованої яскравісної температури

$$\Delta T_{min} = \frac{T_B}{m\sqrt{\Delta f \Delta t}}. \quad (3)$$

Як видно у цьому випадку ефективна площа, тобто розмір радіотелескопа, не є важливими, можна використовувати невелику антену і, навіть, один антенний елемент із квазі - ізотропною діаграмою спрямованості. Цей висновок є принциповим при дослідженнях позагалактичних майже ізотропних космологічних ефектів різних типів. Тонка просторова структура подібних джерел вивчається на наступних етапах досліджень після детектування власне ефекту. Максимізація коефіцієнту m і наближення його до 1 залишається вкрай важливим у кожному випадку. Це реалізовано для усіх українських радіотелескопів, оскільки вдалося досягнути вельми високого відношення T_a та T_N на рівні 6–10 дБ, що дає $m = 0.8 - 0.9$. Більше того, це забезпечено у широкій смузі частот радіотелескопів, що продемонстровано нижче.

На рис. 6-7 показані амплітудно-частотні характеристики (смуга пропускання) радіотелескопа УТР-2. Це є реальні відгуки телескопа на галактичний фон,



Рис. 4. Розташування радіотелескопів декаметрових хвиль в Україні.

Fig. 4. Location of radio telescopes of decameter waves in Ukraine.

який займає увесь електромагнітний радіоспектр від гектометрових до дециметрових хвиль. Ці відгуки містять також вузькосмугові радіозавади, інтенсивність і кількість яких суттєво залежить від часу доби (вночі набагато менше) і частоти (майже відсутні на частотах більше 15–20 МГц). Ці радіочастотні завади мають ширину $\Delta\nu_{RFI} \sim 10$ кГц. Нерівномірність характеристики зумовлена використанням спеціальної 3-смугової системи антенного підсилення зі смугами пропускання 8–12, 12–18, 18–33 МГц. Ця нерівномірність коригується певним чином шляхом калібрування та розрахунків. Радіотелескопи УРАН-1 – УРАН-4 мають подібні смуги частот - 8–33 МГц (див. таблицю на рис. 5).

Важливо підкреслити, що така смуга частот здається недостатньою для пошуку вельми широких космологічних ліній нейтрального водню (див. далі). Однак в обсерваторії ім. С.Я. Брауде поруч з радіотелескопом УТР-2 створюється радіотелескоп нового покоління ГУРТ. Не дивлячись на поки що менші розміри (як показано вище у даному випадку розмір не є важливим) цей інструмент відрізняється рядом переваг, серед яких головною є значно ширша смуга частот, що складає 8–80 МГц. Телескоп ГУРТ збирається з 25-елементних двополяризованих субрешіток із аналоговим фазуванням в субрешітці та цифровим між ними. На рис. 8-9 показані амплітудно-частотні характеристики ГУРТ у денний та нічний часи. Видно також значно більшу рівномірність коефіцієнта передачі, що також корисно.

Крім того, нижні лінії на обох малюнках показують рівень власних шумів субрешітки, який на ~ 10 дБ менший від антенної температури фону, що дає дуже високе значення $m \approx 0.9$ [30].

Таким чином, є очевидною доцільність використання субрешіток ГУРТ і, навіть, їх окремих елементів. Вони забезпечують необхідні смугу частот, чутливість, рівномірність коефіцієнту передачі, стабіль-

ність, завадостійкість, економічність та ефективність експлуатації. Нагадаємо, що субрешітки та антенні елементи системи LOFAR (Нідерланди та інші країни Європи) та NuFAR (Франція за участю українських радіоастрономів) мають схожі смуги частот 10(20)–80 МГц і також можуть координовано використовуватись у пошуках зміщених ліній НІ на декаметрових-метрових хвилях.

Підкреслимо, що взагалі вигляд Всесвіту на нижчих частотах, який можна спостерігати з поверхні Землі (це саме декаметровий діапазон) є абсолютно не таким, ніж, наприклад, в оптиці або у високочастотній радіоастрономії. На декаметрових превалюють нетеплові механізми радіовипромінювання, нестаціонарна нерівноважна радіоемісія при розповсюдженні хвиль і заряджених частинок у магнітоактивній плазмі. Має місце сильна взаємодія радіовипромінювання із плазмою (поглинання, рефракція, розсіяння), проявляються великомасштабна еволюція та тонкі атомні процеси. Таким чином низькочастотна радіоастрономія дає можливість отримувати унікальну інформацію, яка є недоступною іншими методами астрофізичних досліджень.

Важливим прикладом низькочастотного астрофізичного феномена є нетеплове синхротронне радіовипромінювання Галактики, яке вже згадувалось вище. Воно формується за рахунок руху релятивістських електронів (один із компонентів космічних променів) у магнітному полі Галактики і дуже інтенсивне на декаметрових хвилях: досягає в середньому ~ 500000 К на частоті 10 МГц та ~ 20000 біля 30 МГц. Спектр випромінювання має ступеневий вигляд типу $T_B(\nu) \propto \nu^{-2.6}$. На рис. 10 показана великомасштабна карта цього галактичного фону, що побудована на частоті 20 МГц (смуга реєстрації 20 кГц) комбінованим використанням секції УТР-2 та антени УРАН-2 (кутова роздільна здатність біля 10°). Принциповою є добре помітна зміна яскравісної температури фону в залежності від координат (галактичних або екваторіальних). Так поблизу галактичної площини відносно полюсів зміна температури T_B досягає ~ 6 дВ. На рис. 11 показана добова зміна інтенсивності прийнятого сигналу при орієнтації нерухомих у меридіані променів антен ГУРТ та УТР-2 у напрямку схилення $\delta \approx 40^\circ$, що відповідає радіоджерелу Лебідь А. Перетин наведеної карти на рис. 10 для відповідного схилення в інтервалі прямих сходжень $\alpha = 0^h - 24^h$ забезпечується за рахунок добового обертання Землі.

На рис. 12 показаний подібний експеримент, коли промінь субрешітки ГУРТ орієнтований в зеніт $\delta = 50^\circ$. Результат упродовж 8 діб сканування представлений у тривимірному вигляді: час - частота - інтенсивність (показана яскравість: світлий колір - максимум інтенсивності, темний - мінімум). Видно, що у всій смузі частот 8–80 МГц зміна інтенсивності є не меншою за 3 дБ і повторюється від доби до доби з високою точністю.

Важливо відмітити, що при подібних добових спо-

Радіотелескоп; координати	Частотний діапазон, МГц	Розмір, м; максимальна ефективна площа, м ²	Кількість елементів ($l \times m = N$); поляризація	Розмір променя на 25 МГц	Відстань від УТР-2 (LOFAR), км	РНДБ роздільна здатність на 25 МГц (УТР-2 – УРАН)
УТР-2 (РІ НАНУ); 49°39' пн. ш., 36°56' сх. д.	8 ÷ 33	1800 × 900; 140000	2040; 1 лінійна	0.4° × 0.4°	0 (≈ 2000)	–
УТР-2 (плече Південь–Північ)	8 ÷ 33	1800 × 53; 105000	240 × 6 = 1440; 1 лінійна	0.3° × 12°	0 (≈ 2000)	–
УТР-2 (плече Захід)	8 ÷ 33	900 × 45; 40000	6 × 100 = 600; 1 лінійна	0.6° × 12°	0 (≈ 2000)	–
УРАН-1 (РІ НАНУ); 49°40' пн. ш., 36°21' сх. д.	8 ÷ 33	200 × 29; 5500	4 × 24 = 96; 2 лінійні	5° × 30°	42 (≈ 1950)	59"
УРАН-2 (ПГО НАНУ); 49°38' пн. ш., 34°50' сх. д.	8 ÷ 33	238 × 116; 28000	16 × 32 = 512; 2 лінійні	3.5° × 7.5°	150 (≈ 1850)	16"
УРАН-3 (ФМІ НАНУ); 51°29' пн. ш., 23°50' сх. д.	8 ÷ 33	238 × 58; 14000	8 × 32 = 256; 2 лінійні	3.5° × 15°	946 (≈ 1100)	2.6"
УРАН-4 (РІ НАНУ); 46°24' пн. ш., 30°16' сх. д.	8 ÷ 33	238 × 29; 7000	4 × 32 = 128; 2 лінійні	3.5° × 30°	613 (≈ 1500)	4"
ГУРТ, одна субрешітка, (РІ НАНУ); 49°39' пн. ш., 36°56' сх. д.	8 ÷ 80	18 × 18; 650 (на 10 МГц)	5 × 5 = 25; 2 лінійні	30° × 30°	≈ 1 (≈ 2000)	–

Рис. 5. Основні параметри українських радіотелескопів декаметрового діапазону довжин хвиль.
Fig. 5. The main parameters of Ukrainian radio telescopes of decameter wavelength range.

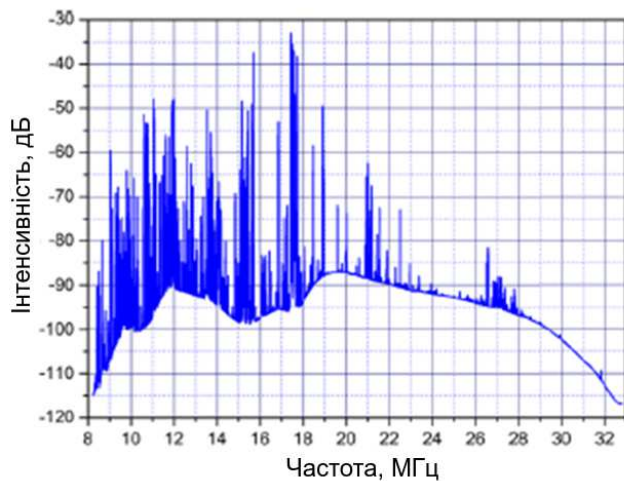


Рис. 6. Відгук радіотелескопа УТР-2 на радіовипромінювання галактичного фону у денний час.
Fig. 6. Response of the UTR-2 radio telescope to the radio radiation of the galactic background during the daytime.

стереженнях, але за допомогою лише одного антенного елемента (має дуже широкую діаграмну спрямованість $\theta_A \gtrsim 100^\circ$), також реєструється зміна інтенсивності сигналу від галактичного фону ~ 3 дБ (у два рази). Сказане підтверджено вимірюваннями і на окремих активних антенних елементах ГУРТ, і на дипо-

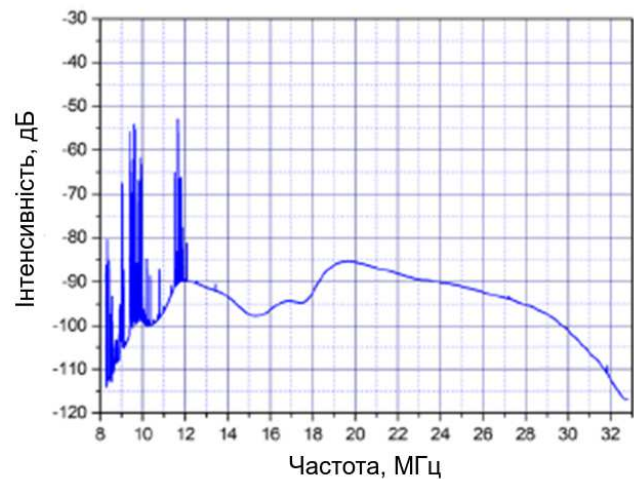


Рис. 7. Відгук радіотелескопа УТР-2 у нічний час.
Fig. 7. Response of the UTR-2 radio telescope at night.

лях УТР-2. Це також було показано ще на початку 70-х років у ході прецизійних експериментів на напівхвильових антенних диполях декаметрових хвиль [32]. Відповідна добова зміна інтенсивності є корисною у впровадженні методики пошуку слабких ліній, як при використанні антен-решіток, так і для окремих елементів. В останньому випадку низька кутова роздільна здатність, як показано вище, є допустимою,

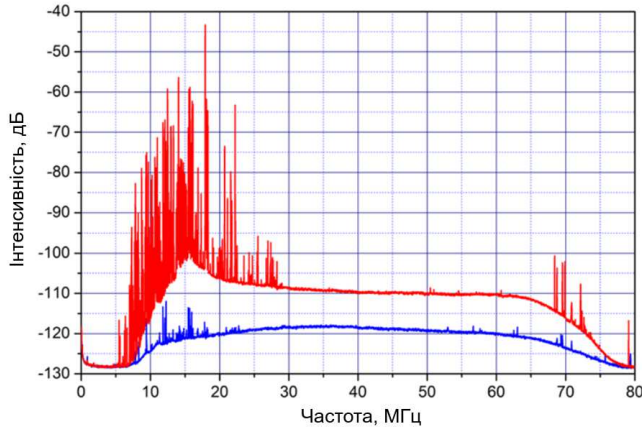


Рис. 8. Відгук субрешітки радіотелескопа ГУРТ на радіовипромінювання галактичного фону (амплітудно-частотна характеристика із додаванням вузькосмугових радіозавад) у денний час. Червона лінія - антенна температура, синя - власні шуми субрешітки.

Fig. 8. Response of the subarray of the GURT radio telescope to the radio radiation of the galactic background (amplitude-frequency characteristic with the addition of narrow-band radio interference) during daytime. The red line is the antenna temperature, the blue line is the intrinsic noise of the subarray.

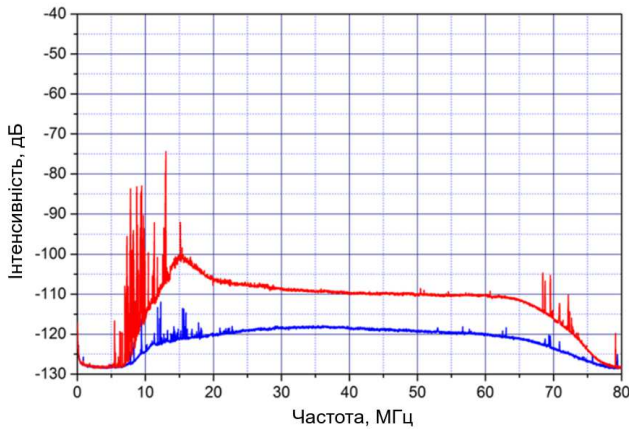


Рис. 9. Відгук ГУРТ у нічний час. Червона лінія - антенна температура, синя - власні шуми субрешітки.

Fig. 9. Response of the GURT at night. The red line is the antenna temperature, the blue line is the intrinsic noise of the subarray.

оскільки досліджуване радіоджерело є ізотропним у просторі.

Описаний вище галактичний фон дає принципові обмеження на дослідження позагалактичних космологічних ефектів на декаметрових та метрових хвилях (це так званий “передній фон”). За своєю яскравісною температурою він у десятки і сотні тисяч разів перевищує температуру реліктового фону $T_{CMB}(0) = 2.73$ К, який і є “заднім” фоном у формуванні ліній HI у поглинанні для $z \sim 80$. Таким чином відносна інтен-

сивність ліній, що шукаються, треба оцінювати у порівнянні з галактичним фоном, який катастрофічно зменшує спостережуваність ліній в реальних експериментах.

III. РАДІОСПЕКТРОСКОПІЯ НА ДЕКАМЕТРОВИХ ХВИЛЯХ

Одним з головних досягнень декаметрової радіоастрономії є детектування екзотичного астрофізичного явища - спектральних ліній рекордно високоенергетичних атомів міжзоряного вуглецю для головних квантових чисел $n > 600$ ($\nu < 30$ МГц). Це відкриття було зроблене біля 45 років тому саме в Україні за допомогою радіотелескопа УТР-2 [33]. Відповідні рекомбінаційні лінії вперше спостерігались у поглинанні на фоні потужного нетеплового радіовипромінювання. Таке явище поглинання дає додаткові переваги у надійній ідентифікації слабкого ефекту і важливе для врахування у пошуку нових ліній поглинання. Задетектовані лінії стали новим ефективним засобом діагностики холодної частково іонізованої міжзоряної плазми, а українські інструменти залишаються найбільш зручними для розвитку цієї перспективної методології [34], [35]. Невипадково, що за допомогою УТР-2 досліджена найбільша кількість об'єктів Галактики у декаметровому діапазоні довжин хвиль, що важливо для майбутніх спостережень інших ліній у Галактиці та від позагалактичних джерел [36], [37]. При цьому є важливими знання про головні параметри низькочастотних рекомбінаційних радіоліній та їх вплив на пошук космологічних ліній нейтрального водню.

Частоти рекомбінаційних ліній визначаються формулою Рідберга

$$\nu_{RL} = cZ^2R \left(1 - \frac{m}{M}\right) \left[\frac{1}{n^2} - \frac{1}{(n + \Delta n)^2}\right], \quad (4)$$

де R - стала Рідберга, m , M - маси електрона і атома відповідно, c - швидкість світла, Z - заряд ядра, n , Δn - головне квантове число та його зміна. Легко показати, що на декаметрах відстань між сусідніми лініями складає ($n \gg \Delta n \sim 1$):

$$\Delta\nu_{RL} \approx \frac{3\nu_{RL}}{n}. \quad (5)$$

Таким чином створюються серії ліній, що відповідають різним n та Δn . Незалежні серії виникають для різних атомів (ізотопічний зсув) відповідно до коефіцієнту $(1 - m/M)$. Як приклад розглянемо лінію однократно іонізованого вуглецю ($Z=1$), яка виникає внаслідок переходу електрона між сусідніми рівнями з головними квантовими числами 640 та 639 (лінії, що виникають при переходах $\Delta n = 1$ називають α -лініями). Частота переходу відповідно до (4) дорівнює $\nu_{RL}(640) \approx 25$ МГц, відстань до сусідньої лінії ($n = 641 \rightarrow n = 640$) відповідно до (5) складає $\Delta\nu_{RL} \sim 125$ кГц.

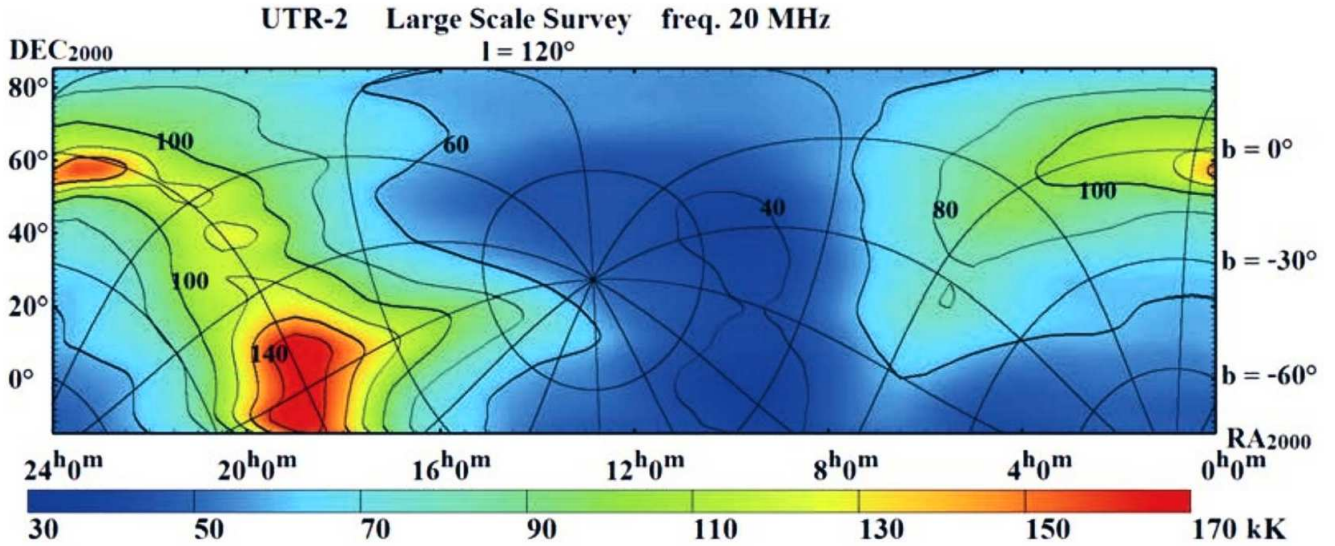


Рис. 10. Мапа радіовипромінювання галактичного фону на частоті 20 МГц [31].
Fig. 10. Map of radio emission of the galactic background at a frequency of 20 MHz [31].

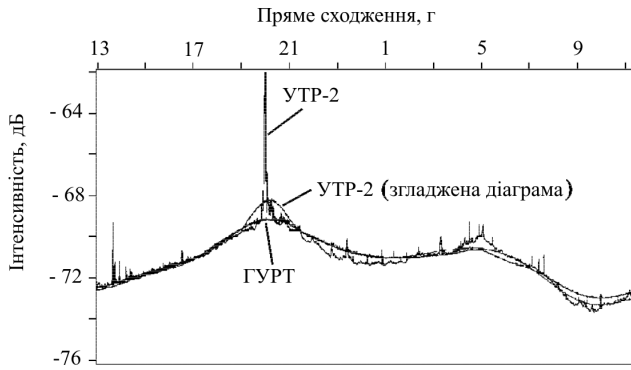


Рис. 11. Добовий скан радіовипромінювання Галактики при нерухомих діаграмах спрямованості антен Схід-Захід УТР-2 та субрешітки ГУРТ на частоті 25 МГц. Інтенсивний пік відповідає радіоджерелу Лебідь А (схилення складає $40^\circ 30'$).

Fig. 11. Daily scan of the radio emission of the Galaxy with stationary directional diagrams of the East-West UTR-2 antennas and the GURT subarray at a frequency of 25 MHz. The intense peak corresponds to the radio source Cyg A ($\delta = 40^\circ 30'$).

Інтегральна відносна інтенсивність ліній визначається як [34]

$$I_{RL} = \int \Delta T_{RL}/T_B d\nu \approx 2 \cdot 10^6 \frac{N_e^2 l b_n \beta_n}{T_e^{5/2}}, c^{-1}$$

де $\Delta T_{RL} = -T_B \tau_{RL}$ - абсолютна інтенсивність при оптичній глибині τ_{RL} , N_e, T_e - електронні густина та температура міжзоряної хмари, l - її довжина вздовж променя зору, b_n, β_n - коефіцієнти нерівноважності, що визначаються заселеністю атомних рівнів.

Ширина відповідних ліній визначається доплерівським $\Delta\nu_D$, штарківським $\Delta\nu_P$ та радіативним $\Delta\nu_R$ механізмами і дорівнює [34]

$$\Delta\nu_{DPR} = \sqrt{\Delta\nu_D^2 + (\Delta\nu_P + \Delta\nu_R)^2}.$$

На теперішній час добре встановлено, що декаметрові рекомбінаційні лінії вуглецю виникають у частково іонізованих холодних дифузних міжзоряних хмарах водню, коли останній є практично нейтральним, а вуглець - повністю іонізований [37]. Це відбувається завдяки різним потенціалам іонізації: $E_H = 13.6$ еВ, а $E = 11.2$ еВ (головне джерело іонізації - ультрафіолетові кванти з довжиною хвилі $913 \text{ \AA} < \lambda < 1100 \text{ \AA}$). Фізичні умови у подібних хмарах наступні: електронна температура $T_e \sim 50 - 100$ К, електронна концентрація $N_e \sim 1 - 0.001 \text{ см}^{-3}$, розмір $l \sim 1 - 100$ пк, турбулентний рух $\Delta V_T \sim 10$ км/с (1 кГц), максимальна радіальна швидкість $V_r \sim 300$ км/с (30 кГц). При цьому головні параметри декаметрових ліній, що підтверджуються експериментами та розрахунками, становлять: відстань між лініями $\Delta\nu_{RL} \approx 120$ кГц, кількість α -ліній в інтервалі 8-33 МГц, $N_{RL} \approx 300$, ширина ліній $\Delta\nu_{DPR} \approx 1 - 10$ кГц, відносна інтенсивність $\Delta T_{RL}/T_B \sim 10^{-3} - 10^{-5}$, інтегральна відносна інтенсивність $I_{RL} \sim 10 - 10^{-2} \text{ с}^{-1}$.

Для підтвердження сказаного на рис. 13, 14 показаний приклад детектування рекомбінаційних ліній на частоті ~ 26 МГц у напрямку радіоджерела Касіопея А. Параметри ліній досить типові і для інших об'єктів Галактики.

Таким чином видно, що в Галактиці існує величезна кількість рекомбінаційних ліній в усьому спектрі декаметрових хвиль [37], [38]. Головним чином вони концентруються поблизу галактичної площини, але спо-

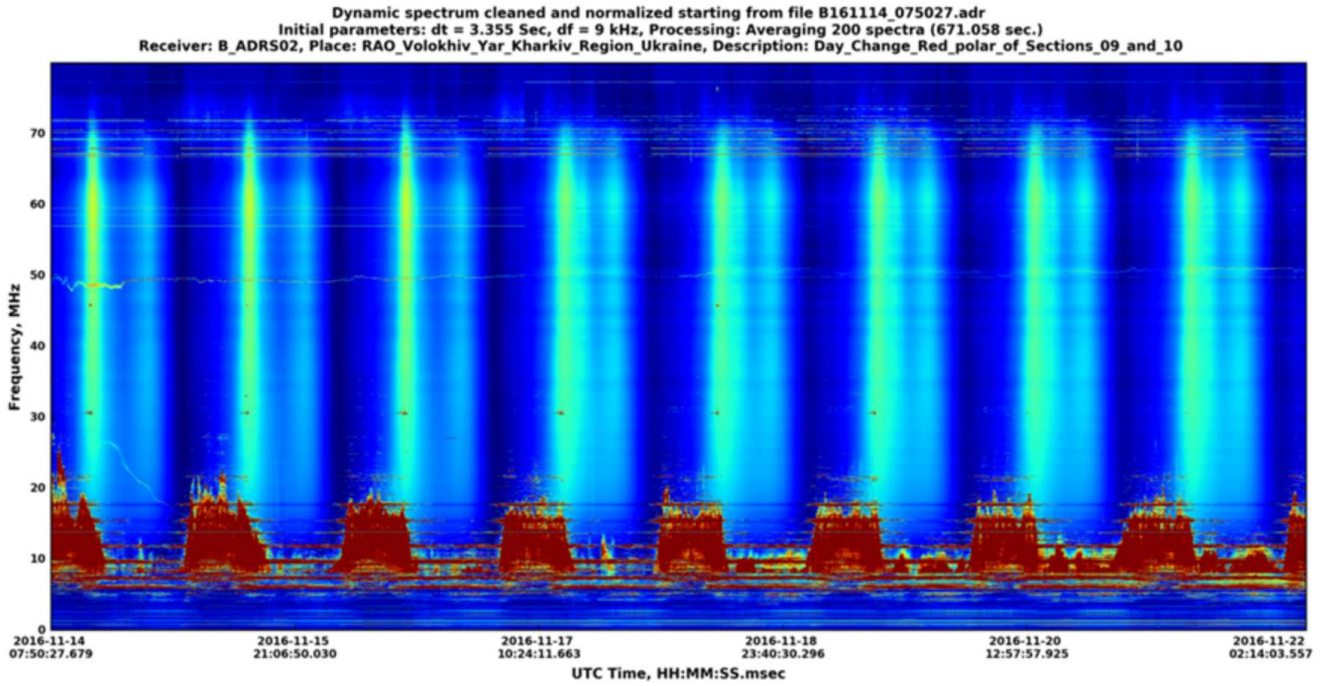


Рис. 12. Восьмиразове проходження Галактики через нерухому діаграму спрямованості субрешітки ГУРТ, яка зорієнтована на схилення 50° (зенітне положення діаграми).

Fig. 12. Eight-time passage of the Galaxy through the fixed directional diagram of the GURT subarray, which is oriented at the inclination of $\delta = 50^\circ$ (the zenith position of the diagram).

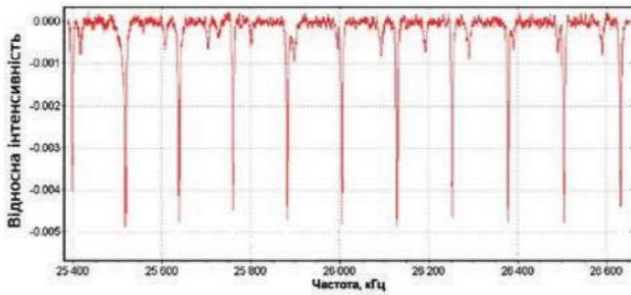


Рис. 13. Високочутливі одночасні спостереження десяти рекомбінаційних радіоліній вуглецю C 627 α - C 636 α поблизу частоти 26 МГц.

Fig. 13. High sensitive simultaneous observations of ten recombination radio lines of carbon C 627 α - C 636 α near the frequency of 26 MHz.

стерігаються і на досить великих галактичних широтах $|b| > 10^\circ$. Незважаючи на порівняно низьку інтенсивність вони все ж таки суттєво перевищують абсолютну та відносні інтенсивності космологічних ліній HI, які плануються для пошуку. Тим не менше, багаті знання стосовно параметрів низькочастотних рекомбінаційних ліній дозволяють сподіватись на їх ефективне відокремлення від радіоспектроскопічного спостережного ефекту, пов'язаного з лінією поглинання HI, зміщеної на декаметрові хвилі.

Як витікає із розділу I та супутньої статті [21] головні параметри очікуваної лінії є наступними:

частота лінії 21 см водню у власній системі відліку $\nu_H = 1420$ МГц, червоне зміщення $z \approx 87$, частота зміщеної розширенням Всесвіту лінії для спостерігача на Землі $\nu_L \sim 16$ МГц, інтенсивність (середня) $\Delta T_L \approx 0.04$ К⁴, ширина на рівні 0.5 максимуму $\Delta \nu_L \approx 25$ МГц, ширина на рівні 0.1 максимуму $\Delta \nu'_L \approx 50$ МГц, полярність від'ємна, поляризація відсутня, кутовий розмір джерела $\Theta_S = 4\pi$ (ізотропне), температура “заднього фону” $T_{CMB}(0) \approx 2.73$ К, температура “переднього фону” поблизу 20 МГц $T_B - 40000$ К.

Таким чином, з урахуванням наведених вище параметрів лінії, радіоспектроскопічних вимог та досвіду попередніх досліджень на декаметрових хвилях сформуємо головні параметри експериментів.

1. Смуга аналізу $\Delta F = (2 - 10)\Delta \nu_L \approx 50 - 250$ МГц
2. Роздільна здатність за частотою $\Delta f = \Delta \nu_{obs}/(1 - 10) \approx 25 - 2,5$ МГц
3. Кількість частотних каналів $M = \Delta F/\Delta f_{min} = 20 - 100$
4. Частота дискретизації $F \geq 2\Delta F = 100 - 500$ МГц

⁴ У розділі I, у супутній статті [21] та в [15, 16] диференціальна яскравісна температура в лінії 21 см нейтрального водню позначена δT_{br} , тут і далі ΔT_L

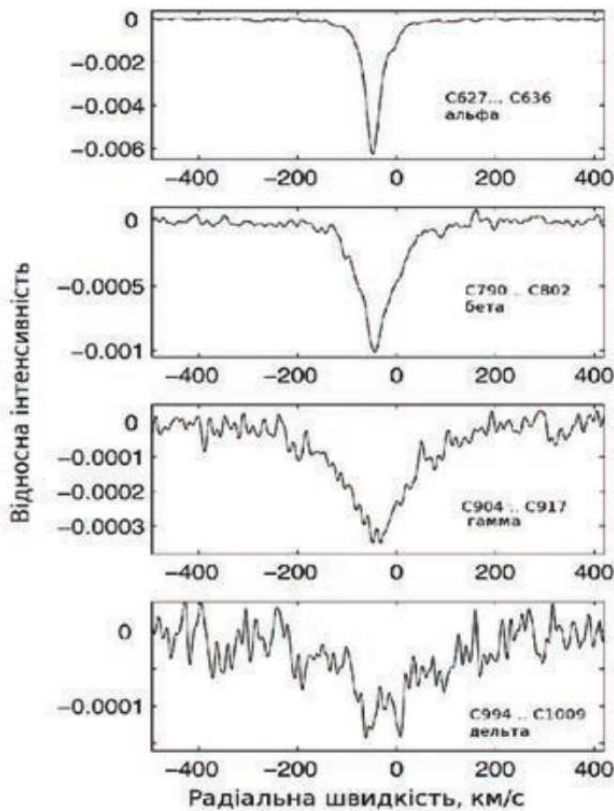


Рис. 14. Детектування α , β , γ , δ - рекомбінаційних радіоліній та відкриття рекордно високоекситованих станів міжзоряних атомів на рівнях $n \sim 1000$.

Fig. 14. Detection of α , β , γ , δ - recombination radio lines and discovery of record highly excited states of interstellar atoms at $n \sim 1000$ levels.

5. Розрядність дискретизації $q = 16$ біт

6. Роздільна здатність з точки зору радіозавад та рекомбінаційних ліній $\Delta f_{RFI} = 1 - 10$ кГц

7. Кількість каналів $M_{RFI} = 5000 - 25000$

8. Кутова роздільна здатність $\Theta_A = 30^\circ - 180^\circ$

9. Поляризація $N_p = 2$

10. Відносна чутливість ($T_B \gg T_{CMB}$) $\Delta T_L/T_B \approx 10^{-6}$

11. Відношення сигнал/шум $S/N \rightarrow 10$

12. Рівень флуктуацій на спектрах $\sigma \leq (\Delta T_L/T_B)/(S/N) = 10^{-7}$

13. Роздільна здатність за часом не потрібна (ефект стаціонарний)

14. Тип спектроаналізатора а) цифровий автокореляційний, б) цифровий із прямим швидким Фур'є перетворенням.

Прокоментуємо та звернемо увагу на деякі важливі вимоги до експерименту в галузі низькочастотної радіоастрономії.

Смука аналізу повинна бути у декілька разів більшою, ніж ширина лінії. Це забезпечує реалізацію відносних спектроскопічних вимірювань, які набагато

точніші, ніж абсолютні. Інтенсивність в лінії порівнюється з сусіднім рівнем спектру, де ліній завідомо немає, саме тому ми обираємо антену ГУРТ із смугою 8-80 МГц. Оцінки показують, що досягнути значно ширшої смуги при збереженні максимальних чутливості $m \sim 0.9$ та завадостійкості практично неможливо. Антенні елементи на зворотному боці Місяця у майбутньому покращать ситуацію.

Роздільна здатність повинна бути у декілька разів кращою, ніж ширина лінії з метою з'ясування форми лінії (кількість каналів декілька десятків).

У присутності вузькосмугових радіозавад, що притаманні декаметровим хвилям, роздільна здатність повинна бути досить високою (≤ 10 кГц), а кількість каналів досягати багатьох тисяч. Протиріччя двох останніх вимог погоджується використанням вищої роздільної здатності на етапі спостережень, а під час вторинної обробки отриманих спектрів із завадами і рекомбінаційними лініями останні усуваються шляхом спеціальної цифрової фільтрації, а потім самі спектри "згладжуються" за частотою і відповідно до очікуваної ширини космологічних ліній.

При вказаних умовах ключовим параметром радіоспектроскопії слабких ліній є необхідний час накопичення Δt при заданих чутливості і роздільній здатності. Тоді відповідно до (3) маємо

$$\sigma = \Delta T_{min}/T_B = 1/\sqrt{\Delta f \Delta t} = 10^{-7}, \quad (6)$$

що при $\Delta f = 2.5$ МГц дає

$$\Delta t = \frac{1}{\Delta f \cdot \sigma^2} = 463 \text{ доби}. \quad (7)$$

Це є надзвичайно великий час неперервних спостережень (≈ 1.3 роки), що практично неможливо реалізувати.

Однак є можливість значного зменшення Δt враховуючи деякі вище наведені обставини. Якщо знехтувати з'ясуванням форми лінії, а зосередитись на факті власне детектування (вузькосмугові завади вже усунені), то при вторинній обробці можна додатково згладити спектри із частотною роздільною здатністю $\Delta f = \Delta \nu_L = 25$ МГц (це є оптимальним з точки зору теорії детектування ефекту). Як видно з (7) час накопичення зменшується у 10 разів і стає цілком реальним:

$$\Delta t = \frac{1}{25 \cdot 10^6 \times 10^{-14}} \text{ сек} \approx 46 \text{ діб}.$$

На жаль, є додаткові завадові фактори, які значно ускладнюють експерименти з пошуку вкрай слабких та досить широких позагалактичних спектральних ліній, що буде розглянуте у наступних підрозділах.

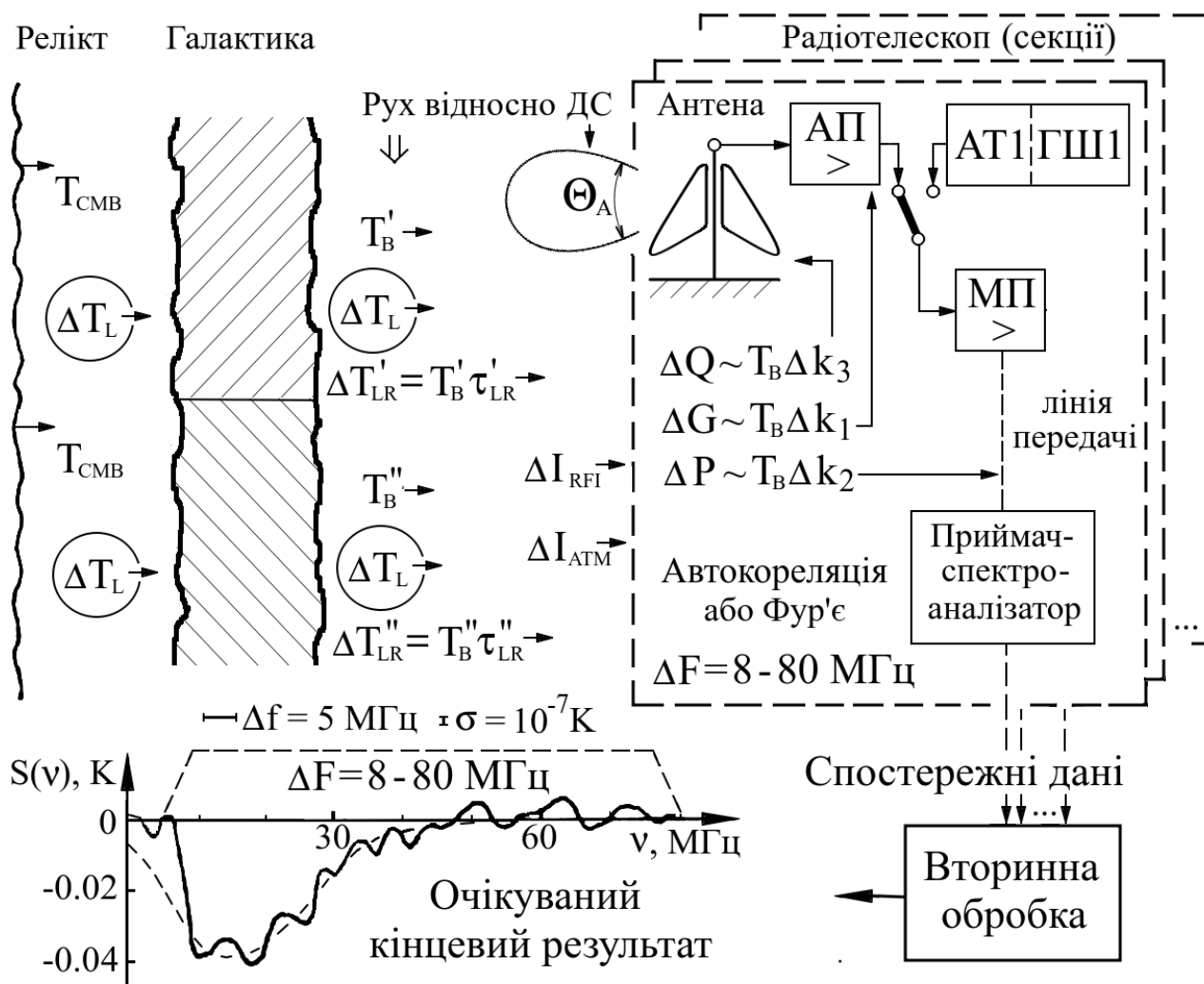


Рис. 15. Структура експерименту.

Fig. 15. Structure of the experiment.

IV. ЗАВАДОВІ РАДІОСПЕКТРОСКОПІЧНІ ФАКТОРИ ТА МЕТОДИ ПОШУКУ КОСМОЛОГІЧНИХ ЛІНІЙ ГІДРОГЕНУ НА ДЕКАМЕТРОВИХ ХВИЛЯХ

На рис. 15 показана структура запропонованого експерименту. У лівій частині знаходяться позагалактичні ділянки видимого Всесвіту, що містять астрофізичні об'єкти досліджень - реліктове радіовипромінювання із яскравісною температурою $T_{\text{CMB}} \approx 2.73$ К, на тлі якого формується лінія поглинання гідрогену із інтенсивністю ΔT_L і пошук котрої є головною метою експерименту. Значно ближче знаходиться Галактика із потужним нетепловим радіовипромінюванням, що має неперервний спектр із значним градієнтом, заповнює все небо, але має зміну інтенсивності на кілька дБ T_B' та T_B'' в залежності від галактичних координат. У Галактиці формуються низькочастотні вузькосмугові рекомбінаційні радіолінії, що описані у

попередньому підрозділі, мають інтенсивність $\Delta T_{LR}'$ та $\Delta T_{LR}''$, які залежать від фонового радіоджерела T_B' та T_B'' і фізичних умов відповідно до оптичної глибини τ_{LR}' та τ_{LR}'' . У правій частині малюнка наведена спрощена схема радіотелескопа, що складається із власне антенної системи, антенних та магістральних підсилювачів (АП, МП), ліній передачі сигналів, спектроаналізаторів, комп'ютерів реєстрації та обробки інформації для отримання кінцевого результату (на малюнку внизу), калібрувальних генераторів шуму ГШ1 та регульованих атенуаторів АТ1. Діаграма спрямованості антени (ДС) із шириною Θ_A зміщується відносно Галактики за рахунок добового обертання Землі. У навколосемному просторі існують вузькосмугові радіозавади від радіостанцій ΔI_{RFI} (згадані у попередньому підрозділі), а також порівняно широкосмугові завади, що виникають завдяки певним атмосферним (точніше, іоносферно-магнітосферним) явищам.

Як видно із сказаного, лише один із факторів, що

показані на рисунку, є позитивним і відноситься до предмету пошуку та досліджень - космологічна лінія нейтрального гідрогену, що зміщена у декаметровий діапазон радіохвиль і має від'ємну інтенсивність ΔT_L . Усі інші параметри та явища, що показані на малюнку і приймаються (або формуються) радіотелескопом, є завадовими і вражаючим чином ускладнюють вирішення поставленої задачі. Проаналізуємо їх більш детально, оскільки боротьба з ними є головною метою спостережної методології, що пропонується у представленій роботі.

А. Вільно-вільне поглинання

Вільно-вільне поглинання радіовипромінювання T_B та ΔT_L у плазмовому середовищі Галактики. Як видно з рис. 15 на шляху розповсюдження позагалактичного радіовипромінювання до спостерігача знаходиться товстий шар нашої Галактики з приблизним розміром 20 кпс \times 1 кпс, головною складовою якого є повністю або частково іонізоване міжзоряне середовище. Одним із явищ в такому середовищі є вільно-вільне поглинання радіовипромінювання, яке значно збільшується із зменшенням частоти. Таке поглинання, наприклад, для ΔT_L , описується співвідношенням

$$\Delta T'_L = \Delta T_L \exp(-\tau_c), \quad (8)$$

де ΔT_L - яскравісна температура радіовипромінювання до його проникнення в Галактику, $\Delta T'_L$ - яскравісна температура "на виході", τ_c - оптична глибина вільно-вільного поглинання у плазмі. Остання визначається як [28]

$$\tau_c = \frac{0.0314 N_e^2 l}{\nu^2 T_e^{3/2}} [1.5 \ln T_e - \ln(20.2\nu)], \quad (9)$$

де ν - частота спостережень в ГГц, T_e , N_e - електронна температура та густина, l - довжина середовища вздовж променя зору.

Для емісійних туманностей (типу "Розетка", "Північна Америка" та інших областей *НІІ*) на частоті 20 МГц оптична глибина дуже велика ($\tau_c \gg 1$) при електронних температурі і густині $T_e \sim 10^4$ К, $N_e = 10 - 10^3$ см⁻³. Те ж саме відбувається у частково іонізованій холодній плазмі на периферії молекулярних хмар високої густини $T_e \sim 20$ К, $N_e \sim 1$ см⁻³. В результаті має місце практично повне поглинання низькочастотного радіовипромінювання, як впливає з (8) та (9). Однак вказані міжзоряні утворення займають лише біля 10% усього об'єму Галактики. Левова частина міжзоряного середовища - це дифузні хмари нейтрального водню ($T_e \sim 100$ К, $N_e \sim 0.001$ см⁻³), та міжхмарне і міжрукавне середовище із $T_e \sim 10^4$ К та $N_e \sim 0.01$ см⁻³. Навіть на відстані вздовж променя зору біля 10 кпс відповідно до (11) маємо $\tau_c = 0.1 - 0.001$. Це дає дуже низьке поглинання у Галактиці при спостереженнях майже ізотропного радіовипромінюван-

ня ΔT_L із порівняно широкою діаграмою спрямованості радіотелескопа. Сказане підтверджується також при детектуванні багатьох тисяч дискретних радіоджерел на декаметрових хвилях за допомогою УТР-2 [39]. Спектри в діапазоні частот 10 - 25 МГц тільки в деяких випадках показують зменшення густини потоку на найнижчих частотах. Це справедливо як для найбільш потужних галактичних радіоджерел Касіопея А, Телець А, так і для радіогалактик Лебідь А та Діва А, які мають лінійні в логарифмічному масштабі спектри аж до частоти 10 МГц.

Б. Передній фон

Висока яскравісна температура галактичного фону T'_B та T''_B та значний градієнт за частотою $T_B \propto \nu^{-2.6}$ (див. розділ II). Оскільки зменшення цих параметрів принципово неможливо, єдиний метод боротьби із катастрофічним зменшенням відносної інтенсивності ефекту, що шукається $\Delta T_L/T_B < 10^{-6}$, є суттєве збільшення часу спостережень (до багатьох місяців) та використання деяких апаратно-програмних впроваджень (багатоантенні спостереження, ефективна корекція "нульової" лінії).

В. Вузькосмугові радіозавади

Вузькосмугові радіозавади ΔI_{RFI} від випромінювань радіостанцій, спеціальних службових радіосистем, паразитних радіовипромінювань власне радіотелескопа (комп'ютери, монітори, генератори, блоки живлення та ін.). Це притаманне саме декаметровим хвилям, але завдяки багаторічному досвіду досліджень у цьому діапазоні розвинуті методи моніторингу завад, покращена електромагнітна сумісність засобів, впроваджені критерії ідентифікації корисних сигналів та завад, включаючи повне усунення останніх. У випадку пошуку космологічних ліній гідрогену головним критерієм ідентифікації є принципова різниця у частотній ширині ефектів для ΔT_L ($\Delta \nu_L \sim 25$ МГц) та ΔI_{RFI} ($\Delta f_{RFI} = 1 - 10$ кГц). Дуже перспективним є використання методів машинного навчання у проблемах боротьби з такими та іншими типами завад у низькочастотній радіоастрономії. У всякому випадку необхідні висока частотна роздільна здатність на етапі спостережень $\Delta f_{RFI} = 1 - 10$ кГц, відповідне очищення від завад і усереднення за частотою до $\Delta f = 2.5 - 25$ МГц.

Г. Низькочастотні радіозавади природнього походження

Низькочастотні радіозавади ΔI_{ATM} , пов'язані із явищами у нижній атмосфері, іоносфері та магнітосфері Землі. Типовим прикладом природних імпуль-

сних радіозавад у низькочастотній радіоастрономії є коротке у часі радіовипромінювання, що виникає при електростатичних розрядах в атмосфері - блискавках. Хоча цей ефект досить потужний, на перший погляд він не є небезпечним - ширина у часі дуже мала - декілька мс, а спектр є досить широким, неперервним, без спектральних особливостей. Але це справедливо для “близьких” блискавок. Завдяки іоносферному розповсюдженню радіохвиль від “далеких” розрядів можлива поява спектральних особливостей, які мають ширину від одиниць до десятків МГц, що є небезпечним, оскільки подібне до спектральної ширини ефекту, що шукається. Нещодавно подібний завадовий ефект був виявлений при спостереженнях на УТР-2. Вірогідно він зумовлений суперпозицією сигналів величезної кількості блискавок, що притаманне тропічним широтам (біля 100 блискавок в секунду, інтервал між ними складає ~ 10 мс). Відбиваючись від іоносфери на певних частотах ($\lesssim 15$ МГц) сигнали приходять до радіотелескопа під кутами $\Delta \approx 10^\circ - 40^\circ$ над горизонтом і створюють додаткову порівняно широкосмугову потужність в інтервалі $\sim 8 - 15$ МГц, що є небезпечним, оскільки знаходяться в інтервалі параметрів очікуваної лінії НІ. Однак було встановлено, що подібний широкосмуговий спектральний ефект спостерігається при низькій часовій роздільній здатності $\Delta t_p > 100$ мс. При високій роздільній здатності $\Delta t_p = 1 - 10$ мс квазінеперервний за часом і частотою ефект розділяється на окремі імпульси, які вже набагато простіше відфільтрувати на тлі стаціонарного у часі широкосмугового ізотропного явища космологічної лінії гідрогену. До того ж спостереження у зенітних напрямках, особливо, з помірно вузькою діаграмою спрямованості, суттєво зменшать вказаний завадовий ефект.

Крім вказаного, існують деякі інші атмосферно-магнітосферні частотно-залежні радіофізичні явища (авроральна емісія, шуманівські резонанси та ін.). Але всі вони зосереджені на вкрай низьких частотах $\ll 1$ МГц і не впливають на якість експериментів у радіоастрономії декаметрових хвиль.

У зв'язку з просторовою ізотропністю радіоджерела, що шукається, такі низькочастотні негативні явища як рефракція, розсіяння, мерехтіння в іоносфері, в міжпланетному і міжзоряному середовищах не мають значення. Поглинанням іоносфери на частотах > 8 МГц можна знехтувати.

Таким чином, як і в п.В, на етапі спостережень необхідна висока часова роздільна здатність $\Delta t_p < 10$ мс, потім - очищення сигналів від імпульсних завад (включаючи методи машинного навчання), а на етапі вторинної обробки забезпечується необхідне усереднення за часом до значення $\Delta t \approx 4 \cdot 10^6$ с.

Усунення радіозавад природного походження, які спричиняються сплесками Сонця та Юпітера із багатою частотно-часовою структурою і максимум інтенсивності на декаметрових хвилях, також потребує достатньо високого частотно-часового розділення на

етапі спостережень. Як і раніше, відповідна фільтрація на етапі вторинної обробки можлива шляхом машинного навчання.

Д. Рекомбінаційні лінії

ΔT_{LR} займають особливе місце серед усіх інших завадових ефектів, що приходять в радіотелескоп із оточуючого середовища. Перш за все, це є єдиний фактор, що має від'ємну полярність, як і лінія гідрогену ΔT_L . Якщо врахувати значення ΔT_{LR} на три порядки більше, ніж ΔT_L , то здається, що усюди присутні в Галактиці рекомбінаційні лінії є дуже небезпечними з точки зору їх надійного відокремлення від позагалактичного ефекту. Однак, не випадково у розділі III детально описані фізика формування цих незвичайних ліній та усі їх параметри. У результаті вказані лінії стають найбільш детермінованим та стабільним завадовим фактором на тлі усіх інших, які мають вкрай нестаціонарний і, навіть, спорадичний характер. Таким чином, добре відомі описані вище мала ширина ліній $\Delta \nu_{DPR} = 1 - 10$ кГц $\ll \Delta \nu_L \approx 25$ МГц, їх частота ν_{RL} та відстань між ними $\Delta \nu_{RL} \approx 100$ кГц (профілі лінії НІ із шириною $\Delta \nu_L \approx 25$ МГц знаходиться, приблизно, 200 рекомбінаційних ліній), інтенсивність цих ліній в залежності від фізичних умов в середовищі та розподіл ліній в Галактиці дозволяють сподіватись на ефективні ідентифікацію та усунення рекомбінаційних радіоліній із широкосмугових спектрів, що містять космологічні лінії нейтрального гідрогену в діапазоні декаметрових радіохвиль.

Нижче розглянемо ще три типи паразитних спектральних ефектів (небезпечних завадових факторів), які на відміну від попередніх виникають у самому радіотелескопі і недостатньо описані у минулих дослідженнях.

Е. Апаратний шум ΔG

Кожен радіотелескоп складається із великої кількості радіотехнічних засобів та елементів – антен, фільтрів, підсилювачів, фазообертачів, ліній передачі, розгалужувачів сигналів, атенуаторів, реєстраторів. Усі вони мають частотно-залежні характеристики передачі, які зумовлюються детермінованими активними та реактивними елементами, а також непрогнозованими паразитними ємностями, індуктивностями, резисторами [40]. В результаті формуються нерівномірні за частотою функції передачі із характерними коливаннями із періодом від одиниць до десятків МГц та амплітудою $\Delta G = T_B \cdot \Delta K$, що співпадає із шириною очікуваної лінії НІ. Додатковою небезпекою є те, що вказані коливання за частотою відбуваються навколо певного середнього спектра потужності $G(\nu) \sim T_B(\nu)$, і тому можуть мати від'ємну полярність. Ретельне налагоджування елементів дозволяє мінімізувати вказа-

ні коливання, але зменшити їх до рівня меншого за 1% від середнього неможливо. Таким чином цей паразитний спектральний ефект може перевищувати очікувану інтенсивність лінії НІ на чотири порядки, що потребує використання спеціальних методів спостережень (див. далі).

Ж. Апаратурний шум ΔP

Завадовий ефект, що позначений на рис. 15 як $\Delta P \propto T_B \Delta K_2$ виглядає подібним до попереднього ΔG , але має іншу фізику походження і також є небезпечним. Із теорії довгих ліній передачі сигналів відомо, що потужність відбитого шумового сигналу із рівномірним спектром від навантажень, що з'єднує довга лінія, складає

$$P_{biv}(f) = r^2 \cos(4\pi Lf/V_{\Phi}),$$

де r - коефіцієнт відбиття від навантажень ($r = 0 - 1$), L - довжина лінії, V_{Φ} - фазова швидкість розповсюдження радіохвилі в лінії передачі (радіочастотному кабелі), f - частота спектра.

Видно, що для типових радіотехнічних параметрів УТР-2, УРАН, ГУРТ, а саме, $r \approx 0.1$, $L \approx 1 - 100$ м; $V_{\Phi} = 200000$ км/с, маємо, що амплітуда коливань вздовж частоти складає $r^2 = 0.01$ (1%) а період паразитних коливань для типових довжин з'єднуючих кабелів в структурі радіотелескопа від 1 м до 100 м лежить в інтервалі від 1 МГц до 100 МГц. Таким чином цей завадовий ефект також може співпадати із шириною лінії $\Delta\nu_L \approx 25$ МГц, може мати як позитивну, так і від'ємну полярність і є досить потужним - на чотири порядки більшим, ніж інтенсивність ΔT_L .

И. Апаратурний шум ΔQ

Можливий завадовий ефект $\Delta Q \propto T_B \cdot \Delta K_3$ був виявлений нещодавно українськими радіоастрономами [41]. Він також схожий за проявленням з попередніми двома ефектами (коливання потужності рівномірного шумового спектру у функції частоти). Але в даному випадку ефект пов'язаний із розміщенням антенних елементів на певній висоті над ґрунтом, особливо, коли останній є дво- або багаточаровим. Як показують розрахунки [41] мають місце різнополярні коливання відносно середнього значення з амплітудою до 10 % і періодом від одиниць до десятків МГц. Як і у попередніх випадках це може бути дуже схожим на спектральний ефект, що шукається як космологічна лінія НІ, є небезпечний і вимагає спеціальних методів завадостійких спостережень.

У кожному радіоастрономічному експерименті доводиться стикатись із класичною спостережною проблемою - виявлення слабкого ефекту (спектральна

лінія, сигнал від джерела неперервного радіовипромінювання, імпульсний або спорадичний сигнал) на тлі потужного шумового випромінювання із широким спектром. Це можуть бути власні шуми радіоастрономічного приймача, або яскравісна температура галактичного фону, як на декаметрових хвилях. Для усунення цього потужного "п'єдесталу" традиційно використовується метод порівняння із шумовим спектром еталонного джерела, який віднімається від спектра, що приймається радіотелескопом. Різні підходи до цього метода звуться модуляційними або компенсаційними [28]. На рис. 15 показане таке еталонне джерело - генератор шуму ГШ1, потужність якого регулюється атенуатором АТ1. Бажано, щоб потужність і спектр такого генератора $T_{BN}(\nu)$, були максимально близькими до параметрів фону $T_B(\nu)$, що забезпечити на практиці непросто. Іноді використовується числова апроксимація широкосмугового спектра (вважається, що усі завадові ефекти вже усунені) на етапі вторинної обробки, але треба бути впевненим, що динамічний діапазон реєстрації космічних сигналів і точність апроксимації поліномом певного ступеня є достатніми.

Метод порівняння зі спектром еталонного генератора шуму використовувався в експериментах з пошуку та дослідження рекомбінаційних ліній на декаметрових хвилях більше 40 років тому [42]. На рис. 16, показаний один з перших спектрів (а), що був виміряний на УТР-2 влітку 1978 року. Він є різницею між спектром космічного радіовипромінювання радіоджерела Касіопея А $S_A(\nu)$ і спектром, що виміряний окремо без радіотелескопа, але із підключенням до спектроаналізатора генератора шуму ГШ1 зі спектром $S_{ГШ}(\nu)$ подібно тому, як показано на рис. 15. Як видно, "п'єдестал" відсутній, але спектр спотворений (не є плоским, базова лінія не дорівнює 0), завдяки, перш за все, вказаному вище значному градієнту частотно-залежного галактичного фону. Дивлячись на цей виміряний спектр практично неможливо стверджувати про детектування спектральної лінії, необхідно використовувати адекватну методику обробки. У роботі [42] була запропонована нова процедура корекції базової ("нульової") лінії, більш проста, однозначна та ефективніша, ніж традиційна апроксимація поліномом, коли завжди є проблема у виборі ступеня полінома та кількості точок апроксимації.

Нагадаємо, що для декаметрової радіоспектроскопії на УТР-2 біля 50 років тому був розроблений та впроваджений вперше в колишньому СРСР радіоастрономічний цифровий кореляційний спектроаналізатор на інтегральних мікросхемах [43]. Цей високо-ефективний прилад вимірював автокореляційну функцію досліджуваного сигналу за алгоритмом

$$R(nT) = \sum_{i=1}^M x(iT)x(iT + nT)$$

де $x(iT)$ - дискретизований за часом та амплітудою вхідний сигнал, T - період дискретизації (частота $F = 1/T$), i - номер відліку вхідного сигналу, n - номер від-

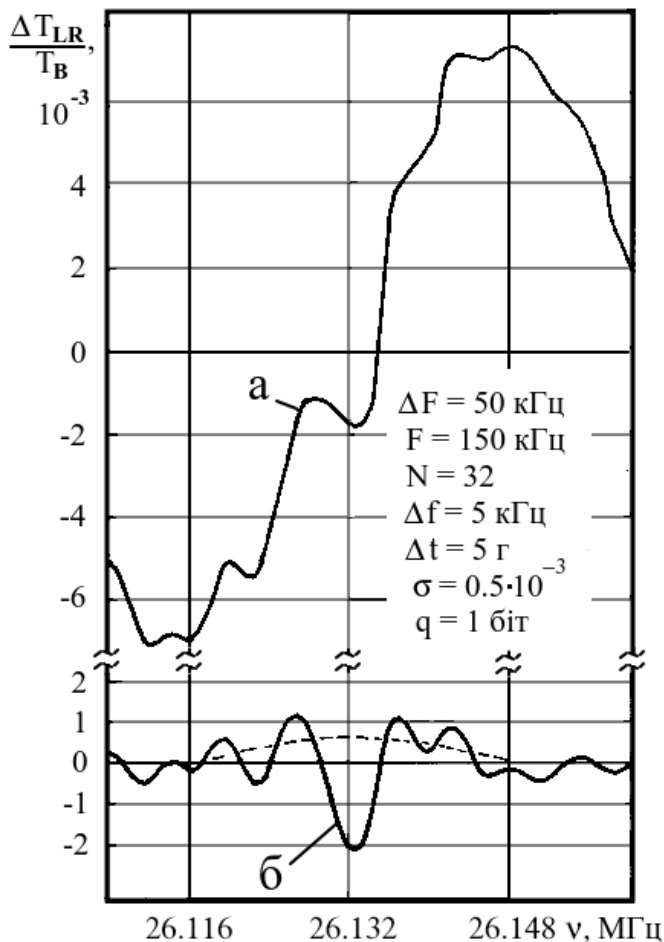


Рис. 16. Детектування міжзоряних рекомбінаційних радіоліній на декаметрових хвилях.
Fig. 16. Detection of interstellar recombination radio lines at decimeter waves.

ліку автокореляційної функції, M - загальна кількість відліків вхідного сигналу, MT - загальний час накопичення у корелометрі, $N = n_{max}$ - загальна кількість каналів корелометра.

Метод порівняння був реалізований безпосередньо у корелометрі шляхом вимірювань диференційної автокореляційної функції як різниці між функціями від антени та генератора шуму

$$R(nT) = R_A(nT) - R_{гш}(nT).$$

На етапі вторинної обробки розраховувався диференційний спектр шляхом прямого дискретного Фур'є перетворення

$$S(\nu) = S_A(\nu) - S_{гш}(\nu) = 2T \sum_{n=1}^N R(nT) \cos(2\pi\nu nT), \quad (10)$$

що і показано на рис 15 (а).

Легко зрозуміти, що вказані "плавні" спотворення широкосмугового спектру формуються початковими

відліками автокореляційної функції, тоді як за вузькосмугову спектральну лінію відповідальні усі відліки, включаючи $n_{max} = N$.

Таким чином, вперше було показано [42], що "відсічення" початкової ділянки автокореляційної функції $R(nT)$ за кількістю $n = N_K$ за умови $N_K \ll N$ перед Фур'є перетворенням повністю ліквідує широкосмугові спотворення спектру, не впливаючи на вузькосмугові спектральні деталі. Це демонструється на рис. 16 (б), коли скоригований спектр отримано шляхом вкрай простого перетворення, практично невідримного від (10)

$$S(\nu) = 2T \sum_{n=N_K}^N R(nT) \cos(2\pi\nu nT),$$

де $N_K = 6$.

Оскільки у розробленому автокорелометрі [43] вимірюється нормована функція ($R(0) = 1$), то диференційний спектр стає центрованим, тобто

$$\int_0^{\infty} S(\nu) d\nu = 0.$$

Як видно з рис. 16 (б), невелике зміщення спостережуваної спектральної лінії дуже легко центрується відносно максимуму лінії, що показано на рис. 16 (б) пунктиром.

За допомогою вказаного перетворення із відсіченням ділянки $R(nT)$ довжиною $n = N_K = 3 - 6$ оперативно оброблено багато тисяч вимірених спектрів, що показало високу ефективність процедури та повністю довело надійність детектування нового астрофізичного явища - міжзоряних рекомбінаційних ліній поглинання рекордно високозбуджених атомів на екстремально низьких радіочастотах.

Наведені вище історичні науково-технічні результати показують не тільки можливість ефективної корекції "нульової" лінії в спектрах. Вони демонструють також правильність вибору параметрів спектроскопічного пошукового експерименту відповідно до очікуваних параметрів міжзоряних низькочастотних спектральних ліній (апробація вибору параметрів для пошуку космологічних ліній III):

частота лінії $\nu_L = 26.13$ МГц (декаметрові хвилі; лінія нейтрального водню, або рекомбінаційна);
абсолютна інтенсивність $\Delta T_L \sim 30$ К;
температура фону $T_B \sim 30\,000$ К;
відносна інтенсивність $\Delta T_L / T_D \sim 10^{-3}$;
ширина лінії $\Delta\nu_L = 10$ кГц (~ 100 км/с);
поляризація відсутня;
кутовий розмір джерела $\Theta_S = 0.5^\circ - 10^\circ$.

Тоді параметри експерименту, що були сформульовані біля 50 років тому, полягають у наступному (у термінах, представлених наприкінці розділу III).

1. Смуга аналізу $\Delta F = (2 - 10)\Delta\nu_L = 20 - 100$ кГц.
2. Роздільна здатність за частотою $\Delta f = \Delta\nu_L / (1 - 10) = 1 - 10$ кГц.
3. Кількість частотних каналів $N = \Delta F / \Delta f_{min} = 20 - 100$.

4. Частота дискретизації $F \geq 2\Delta F = 40 - 200$ кГц.
5. Розрядність дискретизації $q = 1 - 16$ біт.
6. Роздільна здатність з точки зору радіоавад $\Delta f_{RFI} = \Delta f = 1 - 10$ кГц.
7. Кількість каналів $N_{RFI} = N = 20 - 100$.
8. Роздільна здатність за простором $\Theta_A = \Theta_S = 0.5^\circ - 10^\circ$.
9. Відносна чутливість $\Delta T_e/T_D \approx 10^{-3}$.
10. Відношення сигнал-шум $S/N \geq 10$.
11. Рівень флуктуацій на спектрах $\sigma \leq (\Delta T_L/T_B)/(S/N) = 10^{-4}$.

Відповідно до (7) оцінено необхідний час накопичення для роздільної здатності Δf від 1 кГц до 10 кГц:

$$\Delta t = 1/(\Delta f \sigma^2) = 10^4 - 10^5 \text{ сек} \approx 3 - 30 \text{ годин.}$$

Обрані і реалізовані параметри експерименту наведені на рис. 16. Разом із високоякісним радіотелескопом УТР-2 вони дозволили успішно задетектувати вельми слабкий радіоспектроскопічний ефект. Сказане підтверджується також значно більш чутливими експериментами [35], що показані на рис. 13, 14. При смузі аналізу $\Delta F \approx 1.5$ МГц та ефективному часі накопичування $\Delta t = 5000$ годин досягнута рекордна чутливість $\sigma \approx 10^{-5}$. Вочевидь, коли наведені дані з роздільною здатністю $\Delta f \approx 1$ кГц “згладити” до $\Delta f \approx 25$ МГц, то чутливість стане близькою до $\sigma = 10^{-6} - 10^{-7}$, що треба для пошуку лінії НІ. Це доводить гарні перспективи вирішення багатьох астрофізичних завдань, пов’язаних із радіоспектроскопією космічного випромінювання на декаметрових хвилях.

Разом з тим є принципова різниця в описаних вище експериментах стосовно рекомбінаційних ліній та новій задачі пошуку космологічної лінії НІ на декаметрових хвилях.

Перш за все, чотири головних параметри експерименту - ширина лінії $\Delta\nu_L$, смуга аналізу ΔF , кількість каналів N та відносна інтенсивність $\Delta T_L/T_B$ відрізняються у величезну кількість разів - на тричотири порядки! Як видно, при дослідженнях вузьких рекомбінаційних ліній та, відповідно, у смузі аналізу практично відсутні завади ΔI_{RFI} (можна знайти “вікна”), фактори ΔI_{ATM} , ΔG , ΔP , ΔQ набагато ширші, ніж $\Delta\nu_L$ і, навіть, ΔF . Останні лише формують певний додатковий градієнт у смузі частот ~ 50 кГц, який ефективно усувається, як показано вище. Температура T_B також не є небезпечною для спостережень рекомбінаційних ліній, оскільки абсолютна інтенсивність останніх залежить від T_B : $\Delta T_{LR} = T_B \cdot \sigma_{LR}$. Таким чином, експеримент з пошуку космологічної лінії НІ, що пропонується у даній роботі, є набагато складнішим і потребує спеціальних методів усунення чисельних завадових факторів, описаних на початку розділу III.

Відмітимо, що метод порівняння із сигналом ГШІ, показаний вище, є досить ефективним, але неідеальним. Як впливає із рис. 15, сигнал генератора не охоплює значну частину елементів і систем радіотелескопу - антени, підсилювачі, частина ліній переда-

чі та ін. У спектрі від ГШІ відсутні практично всі завадові фактори як зовнішні, так і внутрішні, які б у процесі порівняння віднімалися від завад у спектрі, що приймаються антеною. Значно покращити ситуацію може метод порівняння із діаграмною модуляцією. При цьому головний промінь радіотелескопа (діаграма спрямованості) наводиться на досліджуване радіоджерело, що має досить компактний розмір Θ_S , із реєстрацією відповідного спектра $S'(\nu)$. Інший промінь з тією ж самою шириною Θ_A наводиться (по-спільно або одночасно) на сусідню ділянку неба при відстані $\Delta\Theta > \Theta_S$ ($\Theta_A < \Delta\Theta$), але максимально близько до джерела, щоб параметри телескопа не змінювались. При цьому також реєструється порівняльний спектр $S''(\nu)$. Дуже важливо, що цей спектр має всі ті ж самі зовнішні та внутрішні завадові спектральні особливості. Тоді при отриманні диференційного спектра $S(\nu) = S'(\nu) - S''(\nu)$ ми маємо тільки позитивний ефект ΔT_L , а всі інші компенсуються. Але, на жаль, цей метод діє лише для компактних радіоджерел. У нашому випадку ізотропного у просторі радіоджерела із лінією НІ при отриманні диференційного спектра ефект ΔT_L буде також знищений.

У даній роботі ми пропонуємо інший більш ефективний метод порівняння спектрів, а саме використовуємо спектри, що вимірюються у напрямках галактичного фону із температурами T' та T'' , які відрізняються, приблизно, у два рази (див. рис. 12). В обох спектрах присутні усі завадові фактори (у дещо різних значеннях) та позитивна спектральна особливість. Ця схема може бути представлена у аналітичному вигляді. Для спрощення допустимо, що всі завади із вузькосмуговими структурами ΔT_{LR} , ΔI_{RFI} , ΔI_{ATM} уже усунені. Звернемо увагу також на те, що позитивний ефект ΔT_L (як і завадові вузькосмугові фактори) є адитивними до T_B , тоді як завади ΔG , ΔP , ΔQ мультиплікативними по відношенню до T_B . В результаті можемо записати два відповідних спектри у вигляді

$$\begin{aligned} S'(\nu) &= T'_B + \Delta T_L + T'_B \Delta K + T'_B \Delta K_2 + T'_B \Delta K_3, \\ S''(\nu) &= T''_B + \Delta T_L + T''_B \Delta K_1 + T''_B \Delta K_2 + T''_B \Delta K_3. \end{aligned}$$

З метою спрощення приймаємо, що $T''_B \approx 2T'_B$, тоді

$$S''(\nu) \approx 2T'_B + \Delta T_L + 2T'_B \Delta K_1 + 2T'_B \Delta K_2 + 2T'_B \Delta K_3.$$

Для зрівняння повних потужностей обох спектрів (як і у випадку зрівняння потужностей спектрів від антени та генератора шуму) подвоюємо значення $S'(\nu)$ і отримуємо диференційний спектр як

$$S(\nu) \approx 2S'(\nu) - S''(\nu) \approx 2\Delta T_L - \Delta T_L = \Delta T_L.$$

Таким чином, зміна температури галактичного фону (приблизно, у 2 рази) за рахунок добового обертання Землі при нерухомій діаграмі спрямованості, та ж сама зміна завадових факторів, які пропорційні до T_B , а також незмінність інтенсивності ΔT_L дозволяють виділити останню і на тлі власне галактичного

фону (великого "п'єдесталу"), і на тлі небезпечних широкосмугових (близьких до смуги лінії НІ) завадкових факторів. Безумовно, якість вказаних порівнянь $S'(\nu)$ та $S''(\nu)$ залежна від співпадіння відповідних спектрів, один з яких тяжіє до галактичної площини, а другий - до високоширотних ділянок Галактики.

Дуже важливу роль у структурі кожного радіотелескопа відіграє приймач-реєстратор космічних радіосигналів (рис. 15). Його побудова залежить від характеристик досліджуваних сигналів. У нашому випадку потрібен реєстратор-спектроаналізатор, тобто прилад, який вимірює потужність вхідного сигналу у досить вузьких смугах, що розподілені послідовно у максимально широкій смузі частот. Для радіотелескопа УТР-2 свого часу було розроблено декілька постійно прогресуючих поколінь кореляційних спектроаналізаторів [43], [44], [35], смуга частот яких збільшувалась від ~ 100 кГц до ~ 30 МГц, а кількість каналів від 32, 128 до 4096 (перший прилад коротко згаданий вище). Вказаний підхід виявився досить ефективним. Вимірювання автокореляційної функції сигналу перед її Фур'є перетворенням є вельми корисним, оскільки дозволяє корегувати "нульову" лінію, оперативно виявляти вузькосмугові радіозавади, забезпечує максимальне накопичення сигналу при мінімальній комп'ютерній пам'яті. Однобітне квантування у таких аналізаторах максимально спрощує конструкцію, забезпечує стабільність та швидкодію. Однак незважаючи на переваги однобітне квантування зменшує завадостійкість широкосмугових вимірювань ($\Delta F \sim 50$ МГц) у присутності вузькосмугових інтенсивних радіозавад, що притаманне нашим дослідженням, що плануються. Є два очевидних рішення цієї проблеми: при побудові нового кореляційного спектроаналізатора необхідно використовувати аналого-цифровий перетворювач із кількістю розрядів не менше 16 та спеціальну мікросхемну та комп'ютерну техніку, яка зараз вже є доступною. Другий підхід полягає у вимірюваннях спектру шляхом цифрового прямого швидкого Фур'є перетворення реального часу вхідного сигналу відповідно до співвідношення

$$G(\nu) = \frac{1}{M} \left\{ \left[\sum_{i=0}^M x(iT) \cos(2\pi\nu iT) \right]^2 + \left[\sum_{i=0}^M x(iT) \sin(2\pi\nu iT) \right]^2 \right\}.$$

Такі спектроаналізатори нового покоління вже розроблені і успішно використовуються на радіотелескопах УТР-2, УРАН, ГУРТ [25]. Їх важливою особливістю є те, що вони є максимально універсальними і дозволяють вимірювати усі параметри космічних радіосигналів - енергетичні, просторові, спектральні, часові, поляризаційні, крос-кореляційні, причому, з найвищими чутливостями, завадостійкостями і роздільними здатностями. При цьому можливі як прямі вимірювання спектрів, так і розрахунки автокореляційних та крос-кореляційних функцій (саме ці спектроаналізатори пропонуються для пошуку космологічних ліній НІ, принаймні, на перших етапах спостережень.

Можливий алгоритм цих спостережень полягає у наступному.

1. Антенна система радіотелескопа (один диполь чи субрешітка ГУРТ зі смугою 8–80 МГц) фазується у зенітному напрямку (висота над горизонтом h складає 90°) екваторіальна координата (пряме схилення) дорівнює $\delta = 50^\circ$.

2. Впродовж ~ 12 годин (біля максимуму галактичного фону) вимірюються спектри потужності на виході антени із заданим інтервалом попереднього накопичення $\Delta t_n = 0.1 - 1$ сек (це відповідає часовій роздільній здатності при частотній роздільній здатності $\Delta f = 4$ кГц). Ця послідовність спектрів $S''(\nu)$ (первинні дані) зберігаються у пам'яті комп'ютера.

3. Та ж процедура проводиться у наступні 12 годин біля мінімуму фону, а послідовність спектрів $S'(\nu)$ також зберігається у пам'яті комп'ютера.

4. Після добових спостережень є доцільною вторинна оперативна обробка - фільтрація вузькосмугових та імпульсних завад на усіх парціальних спектрах, згладжування спектрів до роздільних здатностей, наприклад, $\Delta f = 2.5$ МГц та $\Delta f = 25$ МГц, усереднення за часом до значень $\Delta t = 12$ годин для спектрів $S'(\nu)$ та $S''(\nu)$. Ці дії суттєво стискають інформацію, яку доцільно накопичувати на жорстких дисках. На цьому ж етапі можливі розрахунки диференційних спектрів $S(\nu) = 2S'(\nu) - S''(\nu)$ з їх накопиченням на тих самих дисках.

5. Процедури 1–4 проводяться щодобово впродовж півроку, щоб охопити усі положення Чумацького Шляху на небі (наприклад, від зими до літа) з чітким часовим урахуванням добового зміщення положення Чумацького Шляху на 3 хв. 57 сек за добу. Усі зафіксовані спектри за півроку також зберігаються на дисках для фінальної обробки та аналізу даних. Остання передбачає, зокрема, усереднення даних за часом до максимального досягнутого часу накопичення Δt .

Головним критерієм правильності експериментальної методології є оцінка рівня флуктуацій на спектрах та її відповідність формулі $\sigma = 1/\sqrt{\Delta f \Delta t}$ з урахуванням частотної роздільної здатності та часу накопичення. Ефект очищення від завад усіх типів також оцінюється чітким зменшенням рівня флуктуацій відповідно до закону $\sigma \sim 1/\sqrt{\Delta t}$.

V. ДЕЯКІ РЕЗЕРВИ ПОКРАЩЕННЯ МЕТОДОЛОГІЇ ПОШУКУ КОСМОЛОГІЧНОЇ ЛІНІЇ НІ НА ДЕКАМЕТРОВИХ ХВИЛЯХ

Як видно з попередніх підрозділів пошук цікавого і важливого космологічного явища є вкрай складним спостережним радіоастрономічним завданням. Воно вимагає реалізації рекордних параметрів апаратури і методів, які раніше ніколи не були досягнуті у радіоастрономії декаметрових хвиль. Запроваджені засоби і методи спостережень у своїх головних підходах дозволяють сподіватись на отримання позитивних ре-

зультатів. Тим не менше вкажемо на деякі додаткові можливості покращення пошуку та дослідження космологічних ліній НІ.

А. Багатоантенні спостереження

Галактичне нетеплове радіовипромінювання є широкосмуговим δ -корельованим розподіленним по небу шумом. При спостереженнях на незалежних антенах, що рознесені на відстань $d > \lambda/2$ (на декаметрових-метрових хвилях $d > 50 \text{ м} - 0.5 \text{ м}$) сигнали від фону на виходах антен будуть декорельованими у відповідному діапазоні частот в 3 МГц – 300 МГц. Таким чином ці сигнали можна усереднювати, що приведе до зменшення флуктуацій у \sqrt{R} разів (R - кількість радіотелескопів або диполів), що еквівалентно зменшенню необхідного часу накопичення також у R разів. Оскільки один антенний елемент є досить простою конструкцією, їх легко використовувати у достатньо великій кількості - $R \gg 1$. Ускладнює ситуацію те, що кількість спектроаналізаторів повинна бути такою ж. Субрешітка ГУРТ більш складна, ніж елемент, але їх існує більше 10, і при наявності відповідної кількості реєстраторів багатоантенна методика теж можлива.

Б. Розширення діапазону частот антен УТР-2 та ГУРТ

Антенні елементи і субрешітки, з яких складаються радіотелескопи УТР-2 та УРАН (загальна кількість елементів біля 4000) традиційно використовуються у діапазоні 8–32 МГц, що недостатньо для пошуку ліній НІ. Однак є підстави вважати, що реальна смуга частот телескопів значно ширша - 5–50 МГц. Це треба додатково дослідити. При позитивному висновку багатоантенні дослідження будуть можливими і на величезній кількості антен цих радіотелескопів.

В. Двопроменеві спостереження

Субрешітки ГУРТ, УТР-2, УРАН мають порівняно вузькі діаграми спрямованості - $\Theta_A \sim 30^\circ$. Якщо зорієнтувати діаграму однієї субрешітки на точку із координатами $\delta = 50^\circ, \alpha = 0^h$, а другої - на напрям $\delta = 50^\circ, \alpha = 12^h$ (однак симетрично до полярної зорі та поверхні Землі) з вимірювання відповідних спектрів, як показано вище, ми отримуємо схожість спектрів $S'(\nu)$ та $S''(\nu)$ у "протифазі" та ідентичність радіозавад, які додатково зменшуються під час отримання диференційних спектрів, а час спостережень скорочується удвічі.

Г. Модельні експерименти для перевірки методології

Перевірка можливостей досягнення рекордної радіоспектроскопічної чутливості можлива за допомогою інструментальної моделі. При цьому залишаються експериментальна установка і методологія, але замість антени підключаються прилади, що імітують радіоастрономічні умови. Це генератор шуму ГШ2, потужність якого регулюється атеноатором АТ2 до рівня T_B з спектром 8–80 МГц, а також ГШ3, сигнал якого через фільтр зі смугою $\Delta\nu_L = 25 \text{ МГц}$ додається до сигналу ГШ2, але із сильним ослабленням АТ3, щоб забезпечити відношення $\Delta T_L/T_B \approx 10^{-6}$. Це повинно підтвердити необхідний час накопичення Δt , та відсутність певної кількості внутрішніх завад.

Д. Варіаційний метод багатократного порівняння

Для пошуку нових слабких радіоастрономічних ефектів вкрай важливим є використання різних незалежних експериментальних установок, що знаходяться у різних географічних пунктах і мають дещо різні параметри експериментів з наступним порівнянням результатів. Бажаними будуть навіть деякі зміни параметрів під час довготривалих експериментів - тип диполів, довжина ліній передачі, підсилювачі, спектроаналізатори з різними смугами аналізу та роздільною здатністю. Під час порівняння результатів ефект, що шукається, повинен повторюватись у будь-якій конфігурації приладів та параметрів.

Е. Місячні місії

Безумовно, вирішальним кроком принципового покращення умов експерименту з пошуку ліній НІ та інших "слабких" астрофізичних ефектів на низьких частотах є встановлення радіотелескопів декаметрових-гектометрових хвиль на зворотньому боці Місяця. При цьому виникає унікальна ситуація, коли повністю зникають чисельні земні радіозавади, негативний вплив іоносфери та жорсткі технічні вимоги до відповідних експериментальних засобів. Немає сумнівів, що протягом наступних 10-20 років подібні місячні проекти будуть реалізовані.

ВИСНОВКИ

Таким чином, запропонований і описаний у представленій роботі радіоспектроскопічний експеримент є дуже складним, довготривалим, але не безнадійним. Теоретичні оцінки можливості існування ліній

нейтрального гідрогену, що зміщені в діапазон декаметрових хвиль та їх фізичні параметри є обґрунтованими і багатократно перевіреними. Сформульовані вимоги до параметрів пошукових спостережень базуються на півстолітньому досвіді радіоастрономічних досліджень на декаметрових хвилях, включаючи радіоастроспектроскопію. Проведення вказаних експериментів є цілком можливим і реальним у найближчі роки.

ПОДЯКИ

Проведна робота виконувалась при підтримці проєктів НАН України “Горизонт”, “Міжзір’я”, “Радіотелескоп” та відомчих наукових тем ВФА НАН України, а також проєкту Міністерства освіти і науки України «Моделювання світності елементів великомасштабної структури раннього Всесвіту та залишки галактичних наднових зірок та спостереження змінних зірок» (номер державної реєстрації 0122U001834). Вячеслав Захаренко дякує за фінансову підтримку проєкту Europlanet 2024 RI, що фінансується Програмою досліджень та інновацій «Горизонт 2020» Європейського Союзу (грантова угода № 871149). Автори вдячні європейським колегам за участь у підготовці пропозицій програми UPSCALE.

-
- [1] A. A. Penzias, R. W. Wilson, *Astrophys. J.* **142**, 419 (1965); <https://doi.org/10.1086/148307>
- [2] Planck Collaboration: N. Aghanim et al., *Astron. Astrophys.* **641**, A1 (2020); <https://doi.org/10.1051/0004-6361/201833880>
- [3] Planck Collaboration: N. Aghanim et al., *Astron. Astrophys.*, **641**, A6 (2020); <https://doi.org/10.1051/0004-6361/201833910>
- [4] B. E. Robertson et al., *Nature Astronomy* **7**, 611 (2023); <https://doi.org/10.1038/s41550-023-01921-1>
- [5] E. Curtis-Lake, Four metal-poor galaxies spectroscopically confirmed beyond redshift ten, submitted to *Nature Astronomy*.
- [6] L. Verde, T. Treu, A.G. Riess, *Nature Astronomy* **3**, 891 (2019); <https://doi.org/10.1038/s41550-019-0902-0>
- [7] A. G. Riess et al., *Astrophys. J. Lett.* **934**, id. 7 (2022); <https://doi.org/10.3847/2041-8213/ac5c5b>
- [8] V. Bromm, N. Yoshida, *Ann. Rev. Astron. Astrophys.* **49**, 373 (2011); <https://doi.org/10.1146/annurev-astro-081710-102608>
- [9] J. R. Pritchard, A. Loeb, *Rep. Prog. Phys.* **75**, id. 086901 (2012); <https://doi.org/10.1088/0034-4885/75/8/086901>
- [10] J. D. Bowman et al., *Nature* **555**, 67 (2018); <https://doi.org/10.1038/nature25792>
- [11] S. Singh et al., *Nature Astronomy*, **6**, 607 (2022); <https://doi.org/10.1038/s41550-022-01610-5>
- [12] B. Novosyadlyj, Yu. Kulinich, V. Shulga, W. Han, *Astrophys. J.* **888**, id. 27 (2020); <https://doi.org/10.3847/1538-4357/ab530f>
- [13] Yu. Kulinich, B. Novosyadlyj, V. Shulga, W. Han, *Phys. Rev. D* **101**, id.083519 (2020); <https://doi.org/10.1103/PhysRevD.101.083519>
- [14] B. Novosyadlyj, Yu. Kulinich, B. Melekh, V. Shulga, *Astron. Astrophys.* **663**, A120 (2022); <https://doi.org/10.1051/0004-6361/202243238>
- [15] B. Novosyadlyj, V. Shulga, Yu. Kulinich, W. Han, *Physics of the Dark Universe* **27**, 100422 (2020); <https://doi.org/10.1016/j.dark.2019.100422>
- [16] B. Novosyadlyj, Yu. Kulinich, G. Milinevsky, V. Shulga, *Mon. Not. Roy. Astron. Soc.* **526**, 2724 (2023); <https://doi.org/10.1093/mnras/stad2927>
- [17] K. Tauscher, D. Rapetti, J. O. Burns, E. Switzer, *Astrophys. J.* **853**, id. 187 (2018); <https://doi.org/10.3847/1538-4357/aaa41f>
- [18] D. Rapetti, K. Tauscher, J. Mirocha and J. O. Burns, *Astrophys. J.* **897**, id. 174 (2020); <https://doi.org/10.3847/1538-4357/ab9b29>
- [19] K. Tauscher, D. Rapetti, J. O. Burns, *Astrophys. J.* **897**, id. 175 (2020); <https://doi.org/10.3847/1538-4357/ab9b2a>
- [20] K. Tauscher et al., *Astrophys. J.* **915**, id. 66 (2021); <https://doi.org/10.3847/1538-4357/ac00af>
- [21] Б. Новосядлий, Ю. Кулінич, О. Коноваленко, *Журн. фіз. досл.* **28**, id. XXXXX (2024);
- [22] S. Ya. Braude, *Antennas* **26**, 3 (Svyaz' Publ., Moscow, 1978).
- [23] O. O. Konovalenko et al., *Radio Phys. Radio Astron.* **26**, 5 (2021); <https://doi.org/10.15407/Rpra26.01.005>
- [24] A. Konovalenko et al., *Exp. Astron.* **42**, 11 (2016); <https://doi.org/10.1007/S10686-016-9498-X>
- [25] V. Zakharenko et al., *J. Astron. Instrum.* **5**, 1641010 (2016); <https://doi.org/10.1142/S2251171716410105>
- [26] A. A. Konovalenko et al., *Radio Phys. Radio Astron.* **21**, 83 (2016); <https://doi.org/10.15407/rpra21.02.083>
- [27] O. O. Konovalenko et al., *Radio Phys. Radio Astron.* **24**, 3 (2019); <https://doi.org/10.15407/rpra24.01.003>
- [28] Дж. Д. Краус, *Радіоастрономія* (Рад. Радіо, Москва, 1973).
- [29] P. L. Tokarsky, A. A. Konovalenko, S. N. Yerin, *IEEE Trans. Antennas Propag.* **65**, 4636 (2017); <https://doi.org/10.1109/tap.2017.2730238>
- [30] P. L. Tokarsky, A. A. Konovalenko, S. N. Yerin, I. N. Bubnov, *IEEE Trans. Antennas Propag.* **67**, 7312 (2019); <https://doi.org/10.1109/tap.2019.2929322>
- [31] M. A. Sidorchuk et al., *Radio Phys. Radio Astron.* **26**, 287 (2021); <https://doi.org/10.15407/rpra26.04.287>
- [32] V. V. Krymkin, *Radiophys. Quantum electron.* **14**, 161 (1971); <https://doi.org/10.1007/bf01031395>
- [33] A. A. Konovalenko, L. G. Sodin, *Nature* **294**, 135 (1981); <https://doi.org/10.1038/294135a0>
- [34] A. A. Konovalenko, S. V. Stepkin, In: *Radio astronomy from Karl Jansky to microjanski*, (Eds.) L. I. Gurvits, S. Frey, S. Rawlings, Vol. 15, pp. 271-295 (EAS publ.,

- Budapest, 2005); <https://doi.org/10.1051/eas:2005158>
- [35] S. V. Stepkin, A. A. Konovalenko, N. G. Kantharia, N. Udaya Shankar, *Mon. Not. R. Astron. Soc.* **374**, 852 (2007); <https://doi.org/10.1111/j.1365-2966.2006.11190.x>
- [36] A. A. Konovalenko, In: *Radio recombination lines: 25 years of investigation*, (Eds.) M. A. Gordon, R. L. Sorochenko, Proceedings of IAU colloq., pp. 175-189 (Springer, Dordrecht, 1990); https://doi.org/10.1007/978-94-009-0625-9_17
- [37] S. V. Stepkin, O. O. Konovalenko, Y. V. Vasylykivskiy, D. V. Mukha, *Radio Phys. Radio Astron.* **26**, 314 (2021); <https://doi.org/10.15407/rpra26.04.314>
- [38] A. K. Vydula et al., *Astron. J.* **167**, id. 2 (2024); <https://doi.org/10.3847/1538-3881/ad08ba>
- [39] S. Ya. Braude, A. V. Megn, B. P. Ryabov, N. K. Sharykin, I. N. Zhouck, *Astrophys. Space Sci.* **54**, 3 (1978); <https://doi.org/10.1007/bf00637902>
- [40] E. P. Abranin, Yu. M. Bruck, V. V. Zakharenko, A. A. Konovalenko, *Exp. Astron.* **11**, 85 (2001); <https://doi.org/10.1023/a:1011109128284>
- [41] P. L. Tokarsky, A. A. Konovalenko, J. Modelski, *IEEE Access* **11**, 75225 (2023); <https://doi.org/10.1109/ACCESS.2023.3294694>
- [42] О. О. Кonovalenko, *Радіоспектроскопічні дослідження міжзоряного середовища на декаметрових хвилях*, Дисертація канд. фіз.-мат. наук (ІПЕ АН УРСР, Kharkiv, 1982).
- [43] A. A. Konovalenko, *Pribory i tekhnika experimenta* **6**, 123 (1981);
- [44] S. V. Stepkin, *Radio Phys. Radio Astron.* **1**, 255 (1996); <http://rpra-journal.org.ua/index.php/ra/article/view/22/278>
- ON THE POSSIBILITY OF DETECTING A GLOBAL SIGNAL IN THE LINE OF THE HYPERFINE STRUCTURE OF HYDROGEN FROM THE DARK AGES. A. Konovalenko, V. Zakharenko, B. Novosyadlyj, L. Gurvits, S. Stepkin, Y. Vasylykivskiy, P. Tokarsky, O. Ulyanov, A. Stanislavsky, I. Bubnov – We analyze the possibilities of detecting a signal in the hydrogen 21 cm line, which was formed in the early universe during the Dark Ages, using the Ukrainian radio telescopes UTR-2 and GURT of the National Academy of Sciences of Ukraine. As a result of cosmological expansion, this line is shifted to the decameter range of wavelengths ($\lambda_{obs} \approx 18$ m, $\nu_{obs} \approx 16$ MHz) and is in the band of operating frequencies of these telescopes. The brightness temperature of the predicted sky-averaged global signal ranges from ~ -0.08 to ~ 0.02 K, depending on the cosmological model. Such a weak signal is a big challenge even for the world's largest radio telescope in the decameter wavelength range UTR-2, since the signal level of the synchrotron radiation of the Galaxy at these frequencies is 20,000-40,000 K. The paper highlights the peculiarities of spectroscopy at decameter waves, interfering factors of natural and instrumental origin and ways to eliminate them in order to reliably detect the signal in the 21 cm line, which can become an important source of information both about the environment in which the first stars and galaxies were born, and about the nature of dark matter particles and the magnitude of primordial magnetic fields. It was concluded that the detection of such a signal using the most sensitive radio telescopes of the decameter wavelength range is quite possible (with a frequency accumulation of 25 MHz, the detection time will be 50 days) and can be implemented in the coming years of peace in Ukraine.
- Keywords: cosmological Dark Ages, hydrogen 21 cm line, radio spectroscopy, UTR-2 radio telescope